

Hochgeschwindigkeitsimplementierungen neuer kryptografischer Algorithmen auf der ARMv8-Plattform

Bachelorarbeit

Patrick Kempf

2. Dezember 2020



Name:	Patrick Kempf
Matrikelnummer:	3068951
Geburtsdatum:	05.05.1998
Studiengang:	Informatik
Prüfungsordnung:	2018
Datum:	2. Dezember 2020
Mentor:	Prof. Dr. Elmar Tischhauser

Eidesstattliche Erklärung

Ich versichere eidesstattlich durch eigenhändige Unterschrift, dass ich die Arbeit selbständig verfasst und ohne Benutzung anderer als der angegebenen Hilfsmittel angefertigt habe. Die Stellen der Arbeit, die anderen Werken dem Wortlaut oder dem Sinne nach entnommen sind, wurden in jedem Fall unter Angabe der Quellen kenntlich gemacht. Dies gilt für Text als auch für Abbildungen. Die Erklärung bezieht sich auf §23 Abs. 7 der Prüfungsordnung für den Studiengang „Informatik“ mit dem Abschluss „Bachelor of Science (B.Sc.)“ der Philipps-Universität Marburg vom 28. Oktober 2015 in der Fassung vom 25. Oktober 2017.

Patrick Kempf
3068951

Inhaltsverzeichnis

1	Einleitung	1
1.1	Beiträge dieser Arbeit	1
2	ARMv8-A Architektur	3
2.1	Advanced Single Instruction, Multiple Data	3
2.2	ARM NEON Intrinsics	4
3	Blockchiffren	5
3.1	Advanced Encryption Standard (AES)	5
3.1.1	AES-Algorithmus	5
3.1.2	ARM Crypto Extensions	6
3.1.3	Pipelining	9
3.1.4	Implementierung	10
3.1.4.1	AES Schlüsselexpansion	10
3.1.4.2	Byteshift	11
3.2	GIFT	12
3.2.1	Bit-/Byteslicing	13
3.2.2	Implementierung	14
3.2.2.1	Mikrooptimierung	14
4	Message Authentication Codes (MAC)	15
4.1	LightMAC	16
4.1.1	Implementierung	16
5	Authenticated Encryption with Associated Data	18
5.1	COLM	18
5.1.1	Parametrisierung von COLM	20
5.1.2	COLM0	20
5.1.2.1	Effiziente Implementierung von $GF(2^{128})$ -Multiplikation in konstanter Zeit	20
5.1.3	COLM127	22
5.1.3.1	Implementierung	22
5.2	Sundae	22
5.2.1	Parallelisierung von Sundae	23
5.2.2	Sundae-GIFT	23
5.2.3	Sundae-AES	23
6	Performance-Studie	25
6.1	Testverfahren	25
6.1.1	Testhardware	25
6.2	AES	26
6.3	GIFT	26
6.3.1	Vergleich verschiedener Prozessoren	27

6.4	LightMAC	30
6.5	COLM	31
6.5.1	COLM0	31
6.5.2	COLM127	33
6.6	Sundae	35
6.6.1	Sundae-GIFT	35
6.6.2	Sundae-AES	37
7	Fazit	39
7.1	Persönliche Anmerkungen	40
8	Anhang	42
8.1	Algorithmen	42
8.1.1	AES	42
8.1.2	COLM	47
8.1.3	GIFT	77
8.1.4	LightMAC	82
8.1.5	Sundae	84
	Abbildungsverzeichnis	92
	Tabellenverzeichnis	92
	Literatur	94

1 Einleitung

Diese Arbeit beschreibt die Implementierung aktueller kryptographischer Algorithmen für ARM-basierte Prozessoren.

Sehr energiesparende Prozessoren mit ARM-Architektur werden immer häufiger nicht nur bei mobilen Endgeräten wie Smartphones und Tablets verbaut, sondern seit kurzer Zeit auch für Laptops oder sogar Hochleistungs-Rechencluster verwendet. Am 10. November veröffentlichte Apple ihre erste Generation von ARM betriebenen MacBooks und Mac Mini für die breite Öffentlichkeit.

Um auf ARM basierten Prozessoren ebenfalls eine performante Absicherung von sensiblen Daten zu erreichen, müssen kryptographische Algorithmen neu implementiert werden, damit alle Möglichkeiten der Plattform wie zum Beispiel *Single instruction, multiple data* (SIMD) genutzt werden können. Nur so ist es möglich, ARM-basierte Systeme in Geschwindigkeit und Durchsatz von kryptographischen Algorithmen mit „konventionellen“ x86-basierten Prozessoren konkurrieren zu lassen.

Im Rahmen dieser Bachelorarbeit werden vier exemplarisch ausgewählten Algorithmen im Hinblick auf die ARMv8-A Architektur implementiert und optimiert.

Im Folgenden wird zunächst ein kurzer Überblick über die verwendete ARMv8-A-Architektur gegeben und die verwendete Technologie zum besseren Verständnis der Algorithmen erklärt.

Anschließend erfolgt eine kurze Darstellung der Algorithmen, die im Rahmen dieser Arbeit implementiert wurden. Dabei wird zuerst auf Blockchiffren eingegangen, da alle weiteren Algorithmen auf ihnen basieren. Darauf folgt die Erklärung für *Message Authentication Codes (MACs)* und den dafür verwendeten Algorithmus *LightMAC*.

Die letzten Verschlüsselungsalgorithmen, die hier erläutert werden, sind authentifizierte Verschlüsselungsalgorithmen mit Assoziierten Daten. In dieser Kategorie werden jeweils zwei Varianten von *COLM* und *Sundae* implementiert und beschrieben.

Zuletzt werden die Ergebnisse der Performance-Studie zu allen Algorithmen evaluiert und vergleichend dargestellt.

Das Fazit bildet eine Zusammenfassung der Ergebnisse und der bei der Implementierung gemachten Erfahrungen.

1.1 Beiträge dieser Arbeit

Die besondere Leistung dieser Bachelorarbeit liegt in der Entwicklung von optimierten Implementierungen kryptographischer Algorithmen auf der ARMv8-Plattform sowie einer ausführlichen Studie ihrer Performance-Eigenschaften.

Dafür kommt durchgehend das Programmierparadigma „Single instruction, multiple data“ (SIMD) zum Einsatz, welches eine entsprechende Reorganisation der Datenverarbeitung in den Algorithmen erfordert.

Insgesamt wurden im Rahmen dieser Arbeit sieben kryptographische Algorithmen implementiert (*GIFT*, *LightMAC-GIFT*, *LightMAC-AES*, *COLM0*, *COLM127*, *Sundae-GIFT*, *Sundae-AES*). Sie wurden jeweils sowohl seriell also auch parallel implementiert, um den Performanceunterschied berechnen und vergleichend darstellen zu können.

Für *COLM* handelt es sich darüber hinaus um die erste Implementierung überhaupt für ARM-Prozessoren.

Für alle Version aller Algorithmen wurden Performance-Studien durchgeführt, um die Geschwindigkeit aller Ver- und Entschlüsselungsalgorithmen zu messen und zu dokumentieren. So wird die Basis geschaffen, eine fundierte Auswahl von kryptographischen Algorithmen für die ARMv8-A-Architektur zu treffen. Darüber hinaus illustrieren die Ergebnisse dieser Arbeit die grundsätzliche Möglichkeit, diese modernen Algorithmen auch auf mobilen Plattformen effizient zu implementieren und damit von ihren besonderen Sicherheitseigenschaften zu profitieren.

Relevante Teile des implementierten Programmcodes befinden sich im Anhang.

2 ARMv8-A Architektur

2013 veröffentlichte ARM die ARMv8-A [1] RISC Architektur in der Nachfolge von ARMv7-A (2007). Eine Weiterentwicklung von ARMv7-A zu ARMv8-A ist *AARCH64*. Sie bezeichnet die 64-Bit-Erweiterung des Prozessors zusammen mit A64, dem A64 *instructions set*.

Eine weitere Neuerung, die in ARMv7 eingeführt wurde, war „advanced SIMD“ (NEON). Darauf aufbauend wurde in ARMv8 die **crypto extension** hinzugefügt. Beide Technologien bauen auf den 32-NEON-Registern auf, mit jeweils einer Länge von 16 Byte (128 Bit).

2.1 Advanced Single Instruction, Multiple Data

Single instruction, multiple data (im folgenden immer als SIMD bezeichnet) beschreibt das Vorgehen, bei dem ein großes Register in mehrere *lanes* unterteilt wird [2]. Jede *lane* fasst eine Zahl mit der Länge der *lane*. Anschließend können mit einer Operation alle *lanes* innerhalb des Registers gleichzeitig beeinflusst werden. Abbildung 1 zeigt beispielhaft für Verwendung von SIMD eine Addition von vier Werten, die gleichzeitig ausgeführt wird.

Die Erweiterung von SIMD (advanced SIMD) wurde mit ARMv8-A unter dem Namen NEON eingeführt.

Um alle NEON-Funktionalitäten nutzen zu können, wird in der Programmiersprache C die Header-Datei `arm_neon.h` verwendet. Sie definiert NEON-Datentypen und -Funktionen zur Verwendung der 128 Bit-Register.

Jeder Datentyp in `arm_neon.h` stellt eine Aufteilung eines NEON-Registers dar. Die Namen der Datentypen leiten sich in ihrem Aufbau von den Typen aus `stdint.h` ab. Zusätzlich wird die Unterteilung des Registers im Namen des Datentyps angegeben. Beispielsweise ist der Datentyp eines NEON-Registers mit 16 `uint8_t` Werten ein `uint8x16_t`. Abbildung 2 zeigt alle möglichen Aufteilungen eines NEON-Registers.

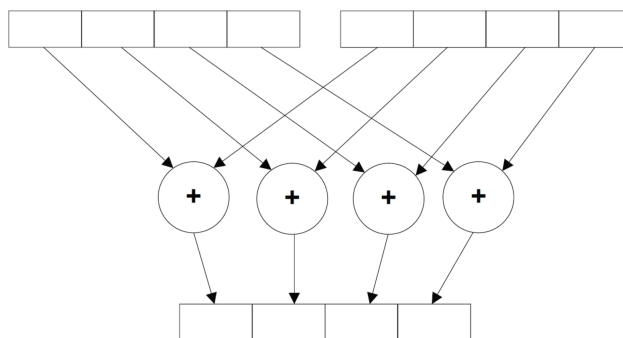


Abbildung 1: SIMD Additionsbeispiel [2]

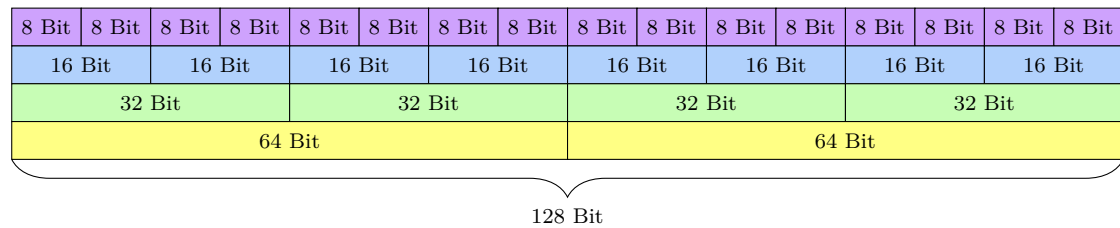


Abbildung 2: Schematische Darstellung aller möglichen Unterteilungen eines 128 Bit NEON Registers

Des Weiteren gibt es die Möglichkeit, nur die Hälfte eines NEON-Registers zu belegen. Die Namenskonvention ist identisch wie bei der Verwendung der vollen Register: `uint8x8_t`.

2.2 ARM NEON Intrinsics

Um auf den oben genannten Datentypen Operationen auszuführen zu können, werden in C NEON Intrinsics verwendet. Intrinsische Funktionen sind Pseudofunktionen (Vorlagen für Assembly-Instruktionen), die durch den Compiler direkt in ein oder mehrere Assembly Instruktionen übersetzt werden. Der Vorteil gegenüber reinen Assembly-Befehlen ist die Benutzerfreundlichkeit von C (gegenüber reinem Assembly) gepaart mit der Performance von direkt verwendeten Assembly-Instruktionen. Außerdem muss der Entwickler keine Register selbst belegen. Der Compiler allokiert die Register zur Compilzeit eigenständig und ist dabei in der Regel effizienter als der Mensch. So können NEON Intrinsics wie handelsübliche C-Funktionen verwendet werden [3].

3 Blockchiffren

Alle hier implementierten Verschlüsselungsalgorithmen basieren auf Blockchiffren. Sie werden verwendet, um jeweils einen Datenblock mit einem Schlüssel zu verrechnen und daraus einen Block Chiffretext zu liefern.

Die hier verwendeten Blockchiffren sind *AES* und *GIFT-128*. Beide Chiffren nutzen eine Block- und Schlüsselgröße von 128 Bit.

3.1 Advanced Encryption Standard (AES)

AES [4] definiert einen Verschlüsselungsstandard, der auf dem *Rijndael*-Algorithmus basiert. Dieser wurde von Joan Daemen und Vincent Rijmen entwickelt [5] und ersetzt den zuvor verwendeten *Data Encryption Standard* (DES). 2003 wurde der *Advanced Encryption Standard* in den USA für die Verschlüsselung von Daten mit höchster Geheimhaltungsstufe freigegeben [6].

AES ist sehr weit verbreitet, sodass Hardware-Hersteller wie ARM, Intel oder AMD dazu übergegangen sind, den *AES*-Algorithmus direkt in Hardware zu implementieren. Damit wird eine sehr hohe Performance bei Ver- und Entschlüsselung erreicht.

3.1.1 AES-Algorithmus

Der *AES*-Algorithmus besteht aus vier verschiedenen Bausteinen (*AddRoundKey*, *SubBytes*, *ShiftRows*, *MixColumns*), die – je nach Länge des Schlüssels – 10- bis 14-mal ausgeführt werden (Runden).

Programmcode 1 zeigt den Ablauf der Verschlüsselung eines Datenblocks. Um Daten wieder zu dechiffrieren, müssen drei neue, inverse Funktionen eingeführt werden (*InvShiftRows*, *InvMixColumns*, *InvSubBytes*), die ihre Ausgangsfunktionen aus dem Verschlüsselungsalgorithmus umkehren. *AddRoundKey* basiert auf XOR und wird im Programmcode immer als \oplus gekennzeichnet. Da XOR selbstinvertierend ist, muss keine weitere inverse Funktion für *AddRoundKey* eingeführt werden. Zusätzlich wird die Reihenfolge der Operationen für die Entschlüsselung umgekehrt, um den Klartext wieder aus dem Chiffretext zu generieren (siehe Programmcode 2).

Programmcode 1 AES-ECB 128 Bit Verschlüsselung

```
input : data (16 Byte), round_keys (11 x 16 Byte)
output: ciphertext (16 Byte)
```

```
AddRoundKey(data, round_keys[0])
```

```
For round = 1 To 9
    SubBytes(data)
    ShiftRows(data)
    MixColumns(data)
    AddRoundKey(data, round_keys[round])
```

```

SubBytes(data)
ShiftRows(data)
AddRoundKey(data, round_keys[10])

ciphertext = data

Return ciphertext

```

Programmcode 2 AES-ECB 128 Bit Entschlüsselung

```

input : ciphertext (16 Byte), round_keys (11 x 16 Byte)
output: data (16 Byte)

AddRoundKey(ciphertext, round_keys[10])

For round = 9 To 1
    InvShiftRows(ciphertext)
    InvSubBytes(ciphertext)
    AddRoundKey(ciphertext, round_keys[round])
    InvMixColumns(ciphertext)

InvShiftRows(ciphertext)
InvSubBytes(ciphertext)
AddRoundKey(ciphertext, round_keys[0])

data = ciphertext

Return data

```

3.1.2 ARM Crypto Extensions

Die *ARM Crypto Extension* [7] ist eine Befehlssatz-Erweiterung für *AARCH64*. Sie ist im ARMv8-A-Standard festgeschrieben, muss aber gesondert von allen Chip-Herstellern lizenziert werden. Aus diesem Grund ist die Verwendung der Kryptoerweiterung nicht auf allen ARMv8-A-Prozessor möglich. Als Beispiel ist hier der Raspberry Pi 4 zu nennen, der trotz der ARMv8-A-Architektur die Kryptoinstruktionen nicht nutzen kann.

Da der Amlogic S922X über die Kryptoerweiterung verfügt, konnten die AES spezifischen Intrinsics verwendet werden. Diese Erweiterung beinhaltet unter anderem die folgenden vier *AES* Intrinsics:

1. `vaeseq_u8(data, key)` (eine AES Verschlüsselungsrunde)
2. `vaesdq_u8(data, key)` (eine AES Entschlüsselungsrunde)
3. `vaesmcq_u8(data)` (*Mix Columns*)
4. `vaesimcq_u8(data)` (Inverses *Mix Columns*)

Die intrinsische Funktion `vaeseq_u8(data, key)` führt eine Verschlüsselungsrunde ohne *Mix Columns* aus. Analog dazu findet eine Entschlüsselungsrunde ohne inverses *Mix Columns* mit `vaesdq_u8(data, key)` statt. Sowohl für die *Mix Columns* als auch für die inverse *Mix Columns*-Operationen existieren jeweils eine eigene intrinsische Funktion.

Um mit den *AES* Intrinsics eine vollständige Ver- und Entschlüsselung zu implementieren, muss beachtet werden, dass `vaeseq_u8(data, key)` und `vaesdq_u8(data, key)` nicht die im *AES*-Standard definierte Reihenfolge verwendet. Das ist in Programmcode 3 und Programmcode 4 zu sehen. Für eine korrekte *AES*-Implementierung müssen `vaeseq_u8` über jeweils eine Runden hinweg überlappen (siehe Tabelle 1).

Bei der Verwendung von `vaesdq_u8` (*AES*-Dechiffrierung) ist außerdem zu beachten, dass *Add Roundkey* und *Mix Columns* gegenüber dem Standard in umgekehrter Reihenfolge stattfinden (Programmcode 4). Zur Kompensation muss auf die von der veränderten Reihenfolge betroffenen Rundenschlüssel `MixColumns(round_key)` (mit `round_key` als dem aktuellen Rundenschlüssel) angewandt werden.

Programmcode 3 `vaeseq_u8` Aufbau

```
input : block, key
output: ciphertext

ciphertext = block  $\oplus$  key // AddRoundKey
ciphertext = ShiftRows(ciphertext)
ciphertext = SubBytes(ciphertext)

Return ciphertext
```

Programmcode 4 `vaesdq_u8` Aufbau

```
input : block, key
output: ciphertext

ciphertext = block  $\oplus$  key // AddRoundKey
ciphertext = InvShiftRows(ciphertext)
ciphertext = InvSubBytes(ciphertext)

Return ciphertext
```

AES Verschlüsselung

	AES Standard	NEON Instruktion
Vor der ersten Runde	AddRoundKey	vaeseq_u8
Runde 1	SubBytes	
	ShiftRows	
	MixColumns	
Runde 2	AddRoundKey	vaeseq_u8
	SubBytes	
	ShiftRows	
	MixColumns	
Runde 3	AddRoundKey	vaeseq_u8
	SubBytes	
	ShiftRows	
	MixColumns	
... Runde 9	AddRoundKey	vaeseq_u8
	SubBytes	
	ShiftRows	
	MixColumns	
Letzte Runde	AddRoundKey	veorq_u8 (Vector XOR)
	SubBytes	
	ShiftRows	

Tabelle 1: Einsatz von *AES* NEON-Instruktionen zum Verschlüsseln

3.1.3 Pipelining

Um die Implementierung von *AES* und der anderen Algorithmen zu beschleunigen, wurde ebenfalls eine parallele Implementierung angefertigt. Diese nutzt die im Prozessor vorhandene Pipeline zur Beschleunigung der Ausführung.

Dazu wird jede Funktion so oft hintereinander ausgeführt, dass der Prozessor einem konstanten *Instructionstream* ausgesetzt ist, was wiederum zu einer möglichst konstant gefüllten Pipeline beiträgt. Bei dem verwendeten ARM-Prozessor liegt die Pipeline-Länge bei drei. Deshalb werden alle Befehle in den parallelen Implementierungen drei mal hintereinander ausgeführt. Dabei werden die Daten jeweils so verteilt, dass die erste der jeweils drei Instruktion die $1 \cdot n$ -ten Blöcke verarbeitet, die zweite Instruktion die $2 \cdot n$ -ten Blöcke verwendet und die letzte der jeweils drei Instruktionen die $3 \cdot n$ -ten Blöcke bearbeitet. Dies kann beispielsweise an der Implementierung der *AES*-Verschlüsselung in Programmcode 5 gesehen werden.

In Tabelle 2 sind die Latenzen und Durchsatz-Werte aller in der *AES*-Verschlüsselung und Entschlüsselung verwendeten NEON-Intrinsics zu sehen. Sie unterstreicht ebenfalls, dass jeweils drei Instruktionen mit der Prozessorpipeline parallelisiert werden können.

Programmcode 5 Parallele Implementierung von *AES-ECB* als Präprozessor Macro

```

1 #define AES_ENCRYPT3(block1, block2, block3, keys) do { \
2
3     block1 = vrev64q_u8(block1); \
4     block2 = vrev64q_u8(block2); \
5     block3 = vrev64q_u8(block3); \
6
7     for (uint8_t i = 0; i < 9; i++) \
8     { \
9         block1 = vaesmcq_u8(vaeseq_u8(block1, keys[i])); \
10        block2 = vaesmcq_u8(vaeseq_u8(block2, keys[i])); \
11        block3 = vaesmcq_u8(vaeseq_u8(block3, keys[i])); \
12    } \
13
14    block1 = vaeseq_u8(block1, keys[9]); \
15    block1 = veorq_u8(block1, keys[10]); \
16
17    block2 = vaeseq_u8(block2, keys[9]); \
18    block2 = veorq_u8(block2, keys[10]); \
19
20    block3 = vaeseq_u8(block3, keys[9]); \
21    block3 = veorq_u8(block3, keys[10]); \
22
23    block1 = vrev64q_u8(block1); \
24    block2 = vrev64q_u8(block2); \
25    block3 = vrev64q_u8(block3); \
26
27 } while (0)

```

Instruktion	Latenz (in Zyklen)	Durchsatz (Instruktionen pro Zyklus)
<code>vaeseq_u8</code>	3	1
<code>vaesdq_u8</code>	3	1
<code>vaesmcq_u8</code>	3	1
<code>vaesimcq_u8</code>	3	1
<code>veorq_u8</code>	3	1

Tabelle 2: Durchsatz und Latenz der ARM *AES*-Intrinsics [8]

3.1.4 Implementierung

Um die Performance von *AES* neben Pipelining weiter zu verbessern, wurde die Generierung der Rundenschlüssel ausgelagert. So muss die Schlüsselableitung nicht in jeder Runde des *AES*-Algorithmus ausgeführt werden; stattdessen wird sie jeweils nur einmal vor der ersten Ver- bzw. Entschlüsselung durchgeführt.

Außerdem wurde der Hauptteil von *AES* als *C Präprozessor Macro* ebenfalls in Programmcode 9 definiert. Damit ist sichergestellt, dass kein Kontextwechsel für Funktionsaufrufe durchgeführt werden muss.

3.1.4.1 AES Schlüsselexpansion

Wie in der Auflistung der *AES* Intrinsics in Kapitel 3.1.2 zu sehen ist, existiert keine *AES*-NEON Funktion zum Generieren der *AES*-Rundenschlüssel. Um die Schlüsselgenerierung umzusetzen, wurde eine eigene Funktion implementiert, die jeweils den nächsten Rundenschlüssel für einen gegebenen Schlüssel berechnet. Basis hierfür waren die Intrinsics von Intels *AES-NI*-Erweiterung (explizit `_mm_aeskeygenassist_si128`) [9]–[11]. Diese Instruktion bereitet einen Rundenschlüssel zur Expansion vor. Nach dem Aufruf muss eine weitere Funktion implementiert werden, die die Schlüsselexpansion abschließt. Diese Funktion wurde von Intel nicht in Hardware gefasst, um eine höhere Flexibilität von Schlüssellängen > 128 Bit zu gewährleisten.

Programmcode 6 Neue ARMv8-Implementierung der AES-Schlüsselexpansion

```

1 uint8x16_t aes_next_round_key(uint8x16_t key, uint8_t rcon)
2 {
3     uint8x16_t key_with_rcon = vaeseq_u8(key, zero_vector);
4     key_with_rcon = vqtbl1q_u8(key_with_rcon, ((uint8x16_t){0x9, 0x6, 0x3, 0xc, 0
        ↪ x9, 0x6, 0x3, 0xc, 0x9, 0x6, 0x3, 0xc, 0x9, 0x6, 0x3, 0xc}));
5     key_with_rcon = veorq_u8(key_with_rcon, ((uint8x16_t){0,0,0,0,0,0,0,rcon,
        ↪ 0,0,0,0,0,0,0,rcon}));
6
7
8     uint8x16_t temp_key = veorq_u8(key, vextq_u8(zero_vector, key, 12));
9     temp_key = veorq_u8(temp_key, vextq_u8(zero_vector, key, 8));
10    temp_key = veorq_u8(temp_key, vextq_u8(zero_vector, key, 4));
11    return veorq_u8(temp_key, key_with_rcon);

```

12 }

Programmcode 6 zeigt die Implementierung der Generierung des jeweils nächsten Rundenschlüssels. Er setzt sich primär aus zwei Teilen zusammen: Der erste Teil emuliert das Verhalten von `_mm_aeskeygenassist_si128`. Der Zweite schließt die Schlüsselgenerierung ab.

Im Folgenden eine kurze Erklärung zum Code:

Zeile 3: `vaeseq_u8` mit null-Bytes als Schlüssel führt dazu, dass effektiv nur `ShiftRows` und `SubBytes` durchgeführt werden.

Zeile 4: `vqtbl1q_u8` ist eine *Table lookup* instruktion. Mit ihr werden die Schlüsselbytes in die korrekte Reihenfolge gebracht.

Zeile 5: XOR mit dem aktuellen *rcon*-Wert mit dem mittleren und dem letzten Byte. Damit ist die `_mm_aeskeygenassist_si128`-Emulation abgeschlossen.

Zeilen 8 bis 10: Aufeinanderfolgender Byteshift und XOR des letzten Rundenschlüssels (XOR über die Zeilenvektoren des letzten Rundenschlüssels).

Zeile 11: XOR mit dem Ergebnis der `_mm_aeskeygenassist_si128` Emulation und dem XOR aller Zeilenvektoren des letzten Rundeinschlüssels.

3.1.4.2 Byteshift

Eine wichtige Funktion, derer sich die *AES*-Schlüsselexpansion häufig bedient, ist ein Byteshift innerhalb eines 128 Bit-Registers. Allerdings existiert diese Funktion nicht als NEON Intrinsic. Um dennoch eine gute Performance für Byteshifts zu erreichen, kann sich stattdessen dem Intrinsic `vextq_u8` bedient werden. Es bietet eine sehr vielseitige Anwendungsmöglichkeit, wobei die eigentliche Funktionsweise sehr einfach ist:

Das Intrinsic erhält drei Argumente. Die ersten Beiden sind NEON-Datentypen (in diesem Fall `uint8x16_t`), das letzte ist ein konstanter Integer (*n*). Die Funktionsweise besteht darin, *n* der *least significant Bytes* des ersten Argumentes in die obersten *n* Bytes des Zielregisters zu schreiben und die restlichen Bytes mit den *most significant Bytes* des zweiten Argumentes aufzufüllen.

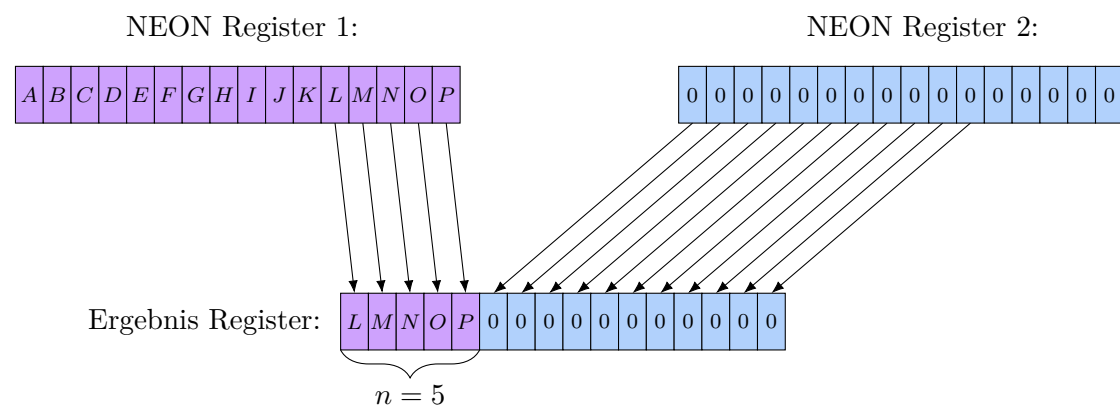
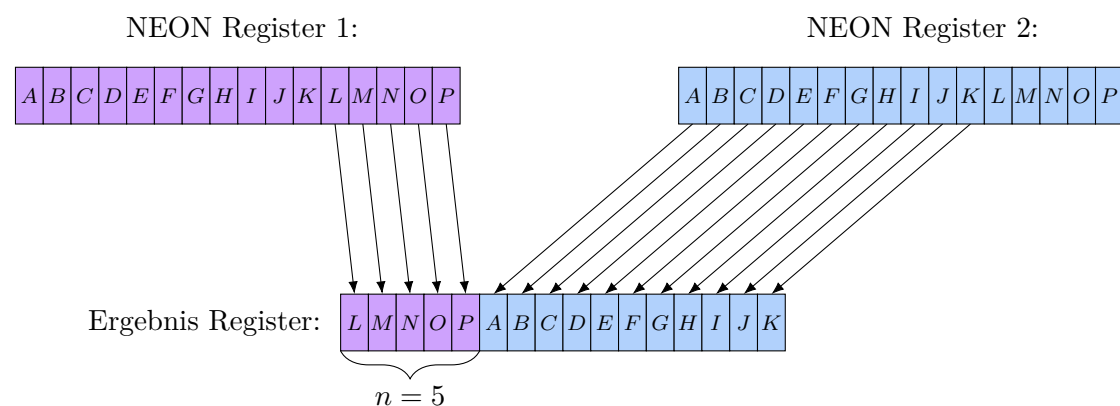
Abbildung 3: Bytelinksshift mit `vextq_u8` und $n = 5$

Abbildung 3 zeigt, wie (o.B.d.A.) ein Byte-links-shift mit `uint8x16_t` durchgeführt werden kann.

Auf die gleiche Weise kann ebenfalls eine Byte-Rotation vollzogen werden. Dafür werden die ersten beiden Parameter auf das gleiche NEON-Register gesetzt (siehe Abbildung 4).

Abbildung 4: Byte(links)rotation mit `vextq_u8` und $n = 5$ Stellen

3.2 GIFT

GIFT wurde 2007 als Weiterentwicklung für *PRESENT* entwickelt [12], [13]. *GIFT* ist – wie *PRESENT* auch – ein SP-Netzwerk und basiert in der Ver-/Entschlüsselung (neben der Schlüsseladdition) rein auf Substitution und Permutation von Bits.

Die S-Box von *GIFT* ist – anders als die S-Box von *AES* – eine 4-Bit-S-Box. Um einen Block mit der Größe von 128 Bit zu verarbeiten, wird sie 16 mal angewandt. In Abbildung 5 sind zwei der 40 in der *GIFT*-Verschlüsselung verwendeten Runden schematisch dargestellt.

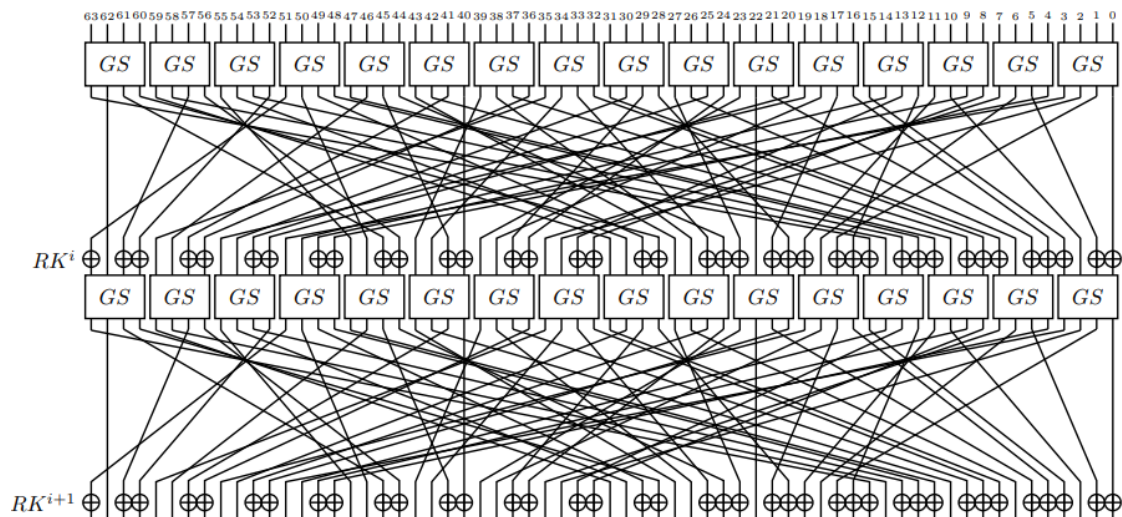


Abbildung 5: Zwei Runden des *GIFT*-Verschlüsselungsalgorithmus [12]

Hier wurde nur die *GIFT*-Verschlüsselung implementiert und nicht die Entschlüsselung, da sowohl für *Sundae* [14] als auch für *LightMAC* [15] nur der Verschlüsselungsalgorithmus einer Blockchiffre benötigt wird.

3.2.1 Bit-/Byteslicing

Um eine höhere Performance und mehr Sicherheit zu erreichen, verwendet die hier implementierte Version von *GIFT* Bitslicing, die es ermöglicht, vier Blöcke mit dem gleichen Schlüssel parallel zu chiffrieren. Des Weiteren sind bitsliced-Implementierungen immun gegen *Cachetiming*-Angriffe sowie *Spectre* oder *Meltdown* [16], [17].

Um Bitslicing umzusetzen, wird die verwendete Verschlüsselung (S-Box, Permutationen, Schlüssel-Addition) in ihre logischen Operationen (XOR, AND, OR) zerlegt. Dies führt zur Immunität gegenüber *Cachetiming*-Angriffen, da so keine Zugriffe auf den Speicher durchgeführt werden müssen, wie es beispielsweise bei lookup-Tabellen (z.B. S-Box) notwendig wäre. Bevor die bitweisen Operationen angewendet werden, werden die Eingabedaten transponiert. Dadurch und unter Verwendung der ARM-Vektor-Intrinsics können, wie in Abbildung 6 und Programmcode 13 zu sehen, alle Eingabedaten jeweils an der n -ten Stelle eines Blocks gleichzeitig verarbeitet werden, da für die jeweilige Stelle die gleichen Operationen notwendig sind.

Nach Abschluss aller Runden müssen die Daten wieder transponiert werden, um die initiale Reihenfolge wiederherzustellen.

Die Entwickler von *GIFT* haben diese Implementierung ausgewählt, um ihren Algorithmus zu testen. Dazu verwendeten sie – anders als in dieser Arbeit – einen Intel Prozessor (i5-4460U), der die *Advanced Vector Extension 2* (AVX2) unterstützt. Dies stellt eine in x86-Prozessoren verbaute SIMD-Erweiterung dar. Die AVX2-Register haben eine Länge von 256 Bit, können also doppelt so viele Daten wie NEON verarbeiten.

Unter Verwendung dieses Prozessors haben die *GIFT*-Entwickler eine Geschwindigkeit von 2,1 c/b für die 64 Bit-Version von *GIFT* erreicht. Bei der implementierten 128 Bit-Version erreichten die Entwickler 2,57 c/b.

3.2.2 Implementierung

Durch die Implementierung von Bitslicing werden jeweils 32 Bit innerhalb eines Blocks zusammengefasst. So wird aus einem Block mit 16 acht Bit-Werten (`uint8x16_t`), ein Block mit vier 32 Bit-Werten (`uint32x4_t`). Um eine „quadratische Matrix“ wie in Abbildung 6 zu erreichen und so die Daten am effizientesten transponieren, verschlüsseln und entschlüsseln zu können, müssen demnach vier Blöcke gleichzeitig verarbeitet werden.

Zur weiteren Beschleunigung von *GIFT* wurde die Schlüsselexpansion wie in der *AES*-Implementierung ebenfalls ausgelagert. So kann in allen *GIFT*-Runden auf die vorab generierten Schlüssel zurückgegriffen werden.

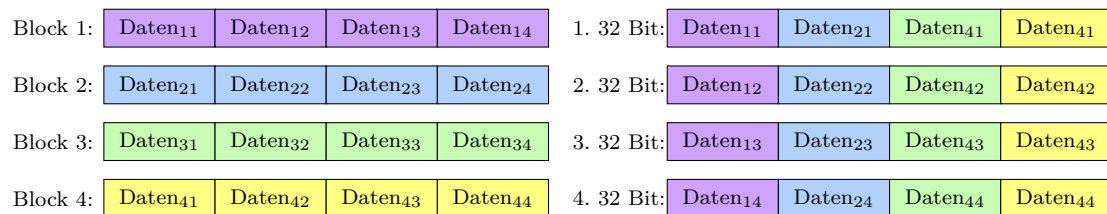


Abbildung 6: Bitslicing von vier Blöcken mit jeweils vier 32 Bit Elementen (`uint32x4_t`)

3.2.2.1 Mikrooptimierung

Ein wichtiger Schritt im *GIFT*-Algorithmus ist die Bitpermutation. Sie verschiebt Bits innerhalb eines Blocks nach einem gewissen Muster (siehe Abbildung 5). Bei der ersten Implementierung der Bitpermutation wurde untersucht, welchen Einfluss die Reihenfolge der Instruktionen auf die Laufzeit des Algorithmus hat. Der Laufzeit-Unterschied zwischen verschiedenen Reihenfolgen war nie sehr groß, allerdings war die Reihenfolge in Programmcode 7 immer am schnellsten. Der Unterschied lag in der Regel bei 0,5 – 0,6 Zyklen pro Byte. Dieser Wert wurde berechnet, indem acht Kibibyte an Daten im *ECB*-Modus verschlüsselt wurde. Anschließend wurde die Anzahl von Zyklen pro Byte bei der Verschlüsselung berechnet. Um ein stabiles Ergebnis zu erhalten, wurde dieses Vorgehen für 1000 Iterationen wiederholt und ein Durchschnitt gebildet.

Programmcode 7 .

```

1 // s0 - s3 Blöcke, T ist ein temporärer Block
2 s0 = rowperm(s3,0,3,2,1);
3 s1 = rowperm(s1,1,0,3,2);
4 s2 = rowperm(s2,2,1,0,3);
5 s3 = rowperm(T,3,2,1,0);

```

4 Message Authentication Codes (MAC)

Message Authentication Codes (im folgenden als MAC bezeichnet) kann man sich als schlüsselabhängige Hashfunktionen vorstellen, die verwendet werden, um die Integrität und Authentizität von Nachrichten sicherzustellen [18].

Sie werden vor dem Versand einer Nachricht berechnet, an die Nachricht angehängt und danach vom Empfänger erneut berechnet. Wenn der berechnete Empfänger-MAC mit dem des Senders übereinstimmt, kann davon ausgegangen werden, dass die Nachricht nicht manipuliert wurde.

Bei der Verwendung von MACs gibt es vier Berechnungsschemata. Im folgenden seien E_{K_1} ein beliebiger Verschlüsselungsalgorithmus mit Schlüssel K_1 , MAC_{K_2} ein beliebiger MAC Algorithmus mit Schlüssel K_2 und M die Eingabenachricht.

- **Encrypt-and-MAC (E&M)**

Schema:

1. Verschlüssele $c := E_{K_1}(M)$
2. Berechne $t := MAC_{K_2}(M)$
3. Sende (c, t)

- **MAC-then-Encrypt (MtE)**

Schema:

1. Berechne $t := MAC_{K_2}(M)$
2. Verschlüssele $c := E_{K_1}(M, t)$
3. Sende c

- **Encrypt-then-MAC (EtM)**

Schema:

1. Verschlüssele $c := E_{K_1}(M)$
2. Berechne $t := MAC_{K_2}(c)$
3. Sende (c, t)

- **Authentifizierte Verschlüsselungsverfahren**

Diese werden in Kapitel 5 beschreiben.

Von den oben genannten Verfahren sollten ausschließlich *Encrypt-then-MAC* und authentifizierte Verschlüsselungsverfahren genutzt werden. Sowohl *Encrypt-and-MAC* als auch *MAC-then-Encrypt* weisen Sicherheitsprobleme wie Rückschlüsse auf den Nachrichtentext (E&M) oder eine fehlende Chiffretext-Integrität (MtE) auf und sind somit für die Verwendung ungeeignet.

4.1 LightMAC

Nachdem im letzten Kapitel Blockchiffren als Grundlage für unter anderem Verschlüsselungsalgorithmen eingeführt wurden, folgt nun *LightMAC* [15]. Er ist ein sehr leichtgewichtiger MAC-Algorithmus, der sich dadurch auszeichnet, dass die Wahrscheinlichkeit, zu einem vorhandenem MAC einen identischen MAC mit anderen Eingabedaten zu finden, unabhängig von der Länge der Nachricht ist. Die Wahrscheinlichkeit für das Finden des zweiten Urbildes ist also unabhängig von der Nachrichtenlänge.

Ein Nachteil des *LightMAC*-Algorithmus ist, dass pro verarbeitetem Datenblock zwei Blockchiffre-Aufrufe durchgeführt werden müssen, da in jeder Runde nur ein halber Block der Eingabedaten verarbeitet wird. Die verbleibenden 64 Bit des Registers werden durch einen Zähler belegt. *LightMAC* lässt sich allerdings parallelisieren, wodurch sich der Durchsatz wieder erhöht.

Die verwendete Blockchiffre in *LightMAC* ist frei wählbar. Hier wurde *LightMAC* in zwei Varianten implementiert: Zum einen unter Verwendung von *AES* und zum anderen unter Anwendung von *GIFT* als Blockchiffre, wobei jede dieser Implementierungen sowohl seriell als auch parallel vorgenommen wurde.

Die Entwickler von *LightMAC* haben ebenfalls Benchmarks durchgeführt und erreichten bei der seriellen Implementierung 2,57 c/b und 0,63 c/b für die parallele Implementierung. Allerdings wurden diese Tests auf einem Intel Skylake Prozessor mit *AVX2* und *AES-NI* durchgeführt. Somit konnten 256 Bit gleichzeitig verarbeitet werden gegenüber von nur 128 Bit mit ARM NEON. Daher ist zu erwarten, dass die ARM-Implementierung mindestens um den Faktor zwei langsamer sein wird.

4.1.1 Implementierung

Anders als Blockchiffren arbeiten *LightMAC* und alle weiteren Algorithmen nicht auf einer festen Größe an Bytes: Die Eingabegröße ist variabel, das bedeutet, dass Arrays mit variabler Größe an die Funktionen übergeben werden. In dieser Arbeit wurde Pointer-Arithmetik verwendet, um möglichst effizient über ein Array zu iterieren.

Beim Verwenden von Pointer-Arithmetik wird die Speicheradresse eines Pointers mittels Addition und Subtraktion von Werten direkt beeinflusst. Da die Speicheradresse eines Pointers immer auf die erste Stelle eines Arrays zeigt, kann somit der Anfang des Arrays „verschoben“ werden. Auf diese Weise kann die aktuelle Stelle in einem Array gespeichert werden, ohne zusätzlich einen Zähler speichern zu müssen.

Wichtig bei der Anwendung dieser Methode ist allerdings, den „echten“ Anfang des Arrays nicht zu verlieren, da ansonsten der allokierte Speicher nicht wieder freigegeben werden kann.

Um die Äquivalenz zwischen Pointer-Arithmetik und konventionellem Array-Zugriff (mit eckigen Klammern) anschaulich zu machen, hier einige Beispiele:

Programmcode 8 Beispiele für Pointer-Arithmetik language

```

1 // Freigeben des Speichers wird für dieses Beispiel Ignoriert.
2
3 uint8_t *uint8_pointer = malloc(10);

```

```

4
5 return uint8_pointer[5];
6
7 // Ist Äquivalent zu:
8
9 // Erhöhen der Speicheradresse um fünf
10 uint8_pointer += 5;
11
12 // Zugriff auf den Wert hinter der neuen Speicheradresse.
13 return *uint8_pointer;
14 // -----
15
16 uint8_t *uint8_pointer = malloc(10);
17
18
19 uint8_t *uint8_pointer = malloc(10);
20 uint16_t sum = 0;
21
22 for (uint8_t i = 0; i < 10; i++)
23 {
24     sum += uint8_pointer[i];
25 }
26 return sum;
27
28 // Ist Äquivalent zu
29 for (uint8_t i = 0; i < 10; i++)
30 {
31     // Zugriff auf das Array
32     sum += *uint8_pointer;
33
34     // Erhöhen der Speicheradresse
35     uint8_pointer++;
36 }
37 return sum;

```

Im vorangegangenen Beispiel wurde als Array-Typ ein `uint8_t` mit einer Länge von einem Byte pro Element verwendet. Somit wird bei der Erhöhung der Speicheradresse um eins ein Wert von eins addiert.

Bei der Verwendung größerer Datentypen ist dies allerdings anders: Dort bedeutet eine Addition von n nicht, dass sich die Speicheradresse um den Wert n erhöht, sondern dass der Zeiger um n Array-Elemente verschoben wird, was beispielsweise bei der Verwendung von `uint32_t` relevant wird.

Die Größe eines beliebigen Datentyps lässt sich mit der C-Funktion `sizeof` bestimmen. Im Fall von `uint8_t` beträgt sie vier Byte. Darum wird bei einer Addition von n zu einer Speicheradresse auf einen `uint32_t` Folgendes ausgeführt:

$$\text{pointer} = \text{pointer} + (4 \cdot n)$$

5 Authenticated Encryption with Associated Data

Ziel von Authenticated Encryption ist nicht nur die Schaffung von Vertraulichkeit (*confidentiality*), sondern gleichzeitig auch das Sicherstellen von Integrität und Authentizität. Wie in den vorherigen Kapiteln erläutert, schaffen verschiedene Verschlüsselungsmodi wie *AES-ECB*, *AES-CBC* oder *AES-CTR* Vertraulichkeit, können aber nicht sicherstellen, dass die Daten während der Übertragung unmanipuliert bleiben. Eine Manipulation bleibt nach dem Empfangen der Daten verborgen. Zur Offenlegung manipulierter Daten wurden MACs und authentifizierte Verschlüsselungsverfahren entwickelt.

Authentifizierte Verschlüsselungsalgorithmen chiffrieren ebenfalls die eingegebenen Daten und berechnen zusätzlich einen MAC, mit dem überprüft werden kann, ob die Daten valide sind.

Authentifizierte Verschlüsselungsalgorithmen mit Assoziierten Daten (AEAD) erhalten neben den Eingabedaten (Nachrichtentext) des Algorithmus ebenfalls Assoziierte Daten. AEAD ermöglicht es gleichzeitig, die Eingabedaten zu verschlüsseln und zusätzlich die Integrität und Authentizität von sowohl der Eingabe als auch der Assoziierten Daten sicherzustellen. Dazu wird der MAC der Assoziierten Daten als Ausgangspunkt zur Generierung des Nachrichten-MACs verwendet. So enthält der finale MAC Informationen über alle Daten (Assoziierte-Daten und Nachrichten-Daten).

Ein möglicher Anwendungsfall für diese Technik wäre, die Sequenznummern von TCP-Paketen über die Assoziierten Daten zu verifizieren und zu versenden. Das hätte den Vorteil, dass die Datenpakete nach dem Empfangen direkt sortiert werden können, ohne die Pakete entschlüsseln zu müssen.

Eine weitere Anwendung wäre das Verteilen von neuen Schlüsseln (Rekeying). Dabei könnte eine *salt* (zufällig generierte, nicht geheime Daten) in den Assoziierten Daten verschickt werden. Diese *salt* und der alte Schlüssel wird benötigt, um den neuen Schlüssel zu dechiffrieren.

5.1 COLM

COLM [19] ist eine Familie von authentifizierten Verschlüsselungsalgorithmen mit Assoziierten Daten, die auf *AES* mit 128 Bit Blocklänge basiert. Pro Runde, in der jeweils 16 Byte an Daten verschlüsselt werden, macht *COLM* zwei *AES* Aufrufe. Zwischen den beiden Aufrufen wird eine lineare Mixingfunktion (ρ) angewendet. In Abbildung 7 ist *COLM* schematisch dargestellt.

COLM ist aktuell auf dem zweiten Platz des Anwendungsfalls 3 von *CAESAR* (Competition for Authenticated Encryption: Security, Applicability, and Robustness) [20]. Allerdings haben sich die Entwickler von *COLM* zusätzlich das Ziel gesetzt, hochleistungsfähige Verschlüsselungsalgorithmen auf leistungsschwächere Prozessoren zu bringen (Anwendungsfall 2). Primärer Anwendungsfall ist jedoch Anwendungsfall 3. Dieser steht für „Defense in depth“: Ein Prinzip, das in der IT-Sicherheit für mehrere kaskadierte Sicherheitsmechanismen steht, um Sicherheit zu gewährleisten, auch wenn einzelne Mechanismen versagen.

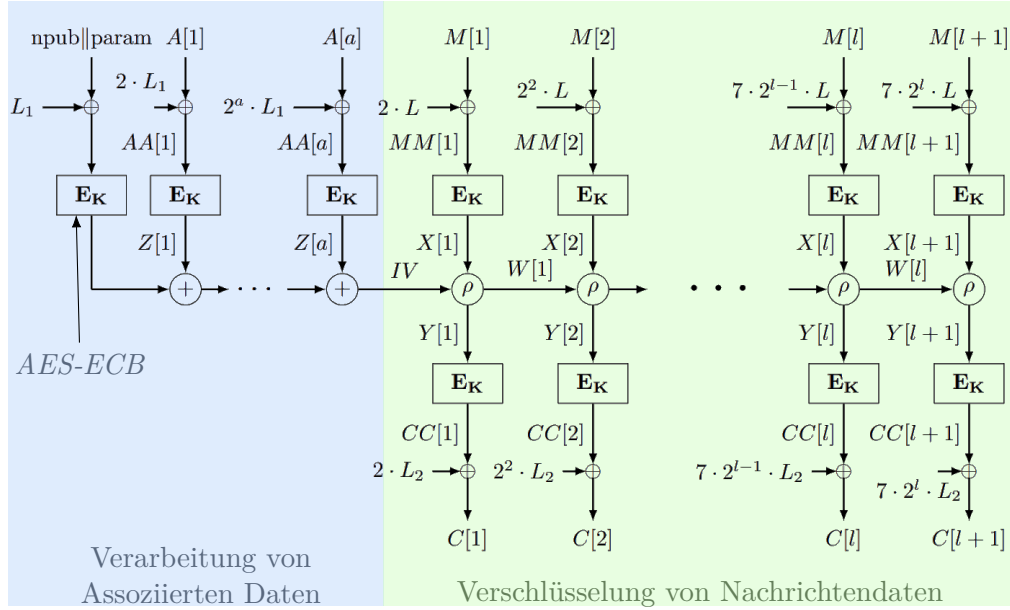


Abbildung 7: Schematische Darstellung des COLM Algorithmus [19]

In *CAESAR* steht „Defense in depth“ jedoch für einige speziell für die *CAESAR*-Competition festgelegte Sicherheitsziele:

1. Authentizität auch bei wiederverwendeter *nonce* (number used once)
2. Möglichst geringer Verlust von Privatsphäre bei wiederverwendeter *nonce*
3. Authentizität auch bei Veröffentlichung von unverifiziertem Klartext
4. Möglichst geringer Verlust von Privatsphäre bei Veröffentlichung von unverifiziertem Klartext
5. Robust bei weiteren Szenarien z.B. sehr große Datenmengen

Im Allgemeinen lässt sich der Anwendungsfall 3 als sehr robuste Algorithmen zusammenfassen, deren primäres Ziel es ist, die Sicherstellung von Privatsphäre und Authentizität von Daten unter allen Umständen zu gewährleisten.

Aufgabe von *CAESAR* ist es wiederum, die Schaffung neuer Authenticated Encryption Algorithmen anzuregen, sie zu evaluieren und Gewinner zu bestimmen. Allerdings bedeutet ein *CAESAR*-Gewinn nicht automatisch, eine Standardisierung dieses Algorithmus.

5.1.1 Parametrisierung von COLM

Die COLM-Familie wird durch zwei Parameter definiert, die die Implementierung bestimmen [19]:

- $\tau \in \{0, \dots, 127\}$: Die Anzahl von Chiffre-Textblöcken, nachdem ein *intermediate tags* generiert wird. Wenn $\tau = 0$ ist, werden keine *tags* generiert.
- $l_\tau \in \{64, \dots, 128\}$: Die Länge der *intermediate tags*

COLM verwendet *intermediate tags*. Dies sind „Zwischen-MACs“. Mit ihnen kann die bisher versandte Nachricht verifiziert werden. Sobald ein nicht validierbarer *intermediate tag* empfangen wird, kann die gesamte Übertragung abgebrochen und neu angefordert werden, da die Daten ab diesem Punkt nicht weiter konsistent vorliegen.

Im Folgenden wird die Notation COLM_τ verwendet. Dabei beschreibt τ die Anzahl der Chiffreblöcke zwischen zwei *tags*. Die Länge der *intermediate tags* (l_τ) sind dabei fest auf $l_\tau = 128$ gesetzt.

In dieser Arbeit wurden zwei Implementierungen von *COLM* angefertigt: *COLM0* und *COLM127*. Diese Implementierungen wurden jeweils seriell und parallel vorgenommen.

Hier die Beschreibung der implementierten Algorithmen.

5.1.2 COLM0

COLM0 ist eine Parametrisierung ($\tau = 0, l_\tau = 128$) von *COLM*, bei der keine *intermediate tags* generiert werden, stattdessen wird ausschließlich ein MAC von den Nachrichten und den Assoziierten Daten erstellt und an den Chiffretext angehängt.

5.1.2.1 Effiziente Implementierung von $\text{GF}(2^{128})$ -Multiplikation in konstanter Zeit

Zur Implementierung von *COLM* sowie allen anderen Verschlüsselungsalgorithmen sollte darauf geachtet werden, die Anzahl der Verzweigungen im Code möglichst gering zu halten, da ansonsten der Algorithmus anfällig für Angriffe wie *Spectre* [16] sein kann. Diese Angriffe nutzen Branchprediction aus, um an Informationen von anderen Prozessen zu gelangen.

Natürlich sind Verzweigungen nicht immer vermeidbar, allerdings können sie in der Galoiskörper-Multiplikation mit **zwei** vermieden werden.

Alle Elemente in Galoiskörper sind Polynome. Im Fall von *COLM* haben sie einen Maximalgrad von 127. Um dies zu erreichen, wird ein irreduzibles Polynom verwendet, das den Körper definiert. Das in *COLM* definierte Polynom ist $f(x) := x^{128} + x^7 + x^2 + x + 1$. In der Implementierung werden ausschließlich die Koeffizienten $\in \{0, 1\}$ der Polynome betrachtet, um Operationen im Galoiskörper auszuführen.

Nach jeder Operation im verwendeten Galoiskörper muss eine Modulo-Reduktion durchgeführt werden, wenn das Bit 128 des Registers gesetzt ist. Um eine Abfrage des Bits zu vermeiden, kann die Ausgangszahl als vorzeichenbehafteter Integer betrachtet werden. Anschließend wird ein Rechts-Shift ausgeführt, der das gesamte Register mit dem

Vorzeichenbit auffüllt. Somit ist dieses gesamte Register **eins**, wenn nach der Multiplikation mit **zwei** eine Modulo-Reduktion durchgeführt werden muss. Falls keine Reduktion ausgeführt werden muss, enthält das Register ausschließlich Nullen.

Dies kann später mit einer **AND**-Verknüpfung mit $f(x)$ verwendet werden, um auf den Wert zu kommen, mit dem die Reduktion ausgeführt wird. Eine **AND**-Verknüpfung mit einem mit Nullen gefüllten Register resultiert wiederum in einem Register mit ausschließlich Nullen. Ist das Register allerdings mit Einsen gefüllt, verbleibt das Polynom im Register und es wird eine Reduktion ausgeführt.

Die Operation zur Durchführung der Reduktion ist **XOR**, bei der der Wert einer Zahl nicht verändert wird, wenn ein Operand Null ist.

Um dies zu verdeutlichen, folgt ein Beispiel für die Multiplikation mit 2 mit einer Variablengröße von 16 Bit. Dabei wird das irreduzible Polynom $g(x) := x^{16} + x^6 + x^2 + x + 1$ verwendet. Die Eingabe-Variable x sei 10110110 00110001 ($x^{15} + x^{13} + x^{12} + x^{10} + x^9 + x^5 + x^4 + 1$).

```
x := 10110110 00110001
g := 00000000 01000111
```

Rechtsshift, um die Notwendigkeit einer Modulo-Reduktion zu bestimmen:

```
r := x >> 16 = 10110110 00110001 = 11111111 11111111
```

Linksshift um eins (Multiplikation mit 2)

```
x := x << 1 = 10110110 00110001 << 1 = 01101100 01100010
```

Polynom bleibt vorhanden, wenn eine Reduktion benötigt wird. Andernfalls wird es Null.

```
g := r & g = 11111111 11111111 & 00000000 01000111 = 00000000 01000111
```

Ggf. wird eine Modulo-Reduktion ausgeführt.

```
x := x ⊕ g = 01101100 01100010 ⊕ 00000000 01000111 = 0110110000100101
           = x14 + x13 + x11 + x10 + x5 + x2 + 1
```

Die vollständige Implementierung dieses Algorithmus (wie oben beschrieben) kann in Programmcode 11 gefunden werden.

Für diesen Algorithmus wurde ein Benchmark ausgeführt, um sicherzustellen, dass die optimale Implementierung verwendet wird. Hier wurde verglichen, wie sich die Laufzeit in Abhängigkeit vom verwendeten Datentype (`uint8x16_t`, `uint64x2_t`) verhält. Dabei konnte kein signifikanter Laufzeitunterschied festgestellt werden. Allerdings basiert *COLM* auf Blöcken mit jeweils 16 Bytes. Daher muss bei der Verwendung von anderen Datentypen als `uint8x16_t` immer eine Typumwandlung durchgeführt werden. Diese setzt sich wiederum aus zwei Bestandteilen zusammen:

Zuerst muss die Byte-Reihenfolge von *little endian* zu *big endian* konvertiert werden, da anschließend ein *reinterpret cast* ausgeführt wird. Dieser geht davon aus, dass die eingegebenen Daten in *big endian* vorliegen. Tun sie das nicht, werden sie während des *castens* umgeordnet und haben anschließend eine falsche Reihenfolge. Diese beiden Instruktionen (Bytereihenfolge umwandeln und *reinterpret cast*) müssen jeweils einmal am Anfang und einmal am Ende des Algorithmus ausgeführt werden. Das führt dazu, dass die Implementierung mit `uint8x16_t` am performantesten ist, da so die Daten nicht konvertiert und gecastet werden müssen. Eine Implementierung mit einem anderen Datentyp war aus diesem Grund immer mindestens 6 Taktzyklen langsamer.

5.1.3 COLM127

COLM127 ist ebenfalls eine Parametrisierung ($\tau = 127$, $l_\tau = 128$) von *COLM* mit Generierung und Verifizierung von *intermediate tags*.

Ein großer Vorteil an *COLM127* zeigt sich bei Netzwerkübertragungen und dem Versand großer Datenmengen: Da bei *COLM127* nach je 127 Blöcken ein *tag* generiert wird, kann nach jeweils 127 Blöcken ($16 \text{ Byte} \cdot 127 = 2032 \text{ Byte} \approx 2 \text{ KiB}$) bestimmt werden, ob ein Fehler aufgetreten ist. Der fehlerhafte Teil kann anschließend neu angefordert werden. So kann bei **einem** Fehler in der Übertragung die Größe der doppelt gesendeten Daten auf ca. zwei Kibibyte reduziert werden.

5.1.3.1 Implementierung

Bei der Implementierung von *COLM127* ist zu beachten, dass die *tag*-Generierung möglichst performanceneutral geschieht. Des Weiteren wurde, der Einfachheit halber, ein separates Array verwendet, um die generierten *tags* abzuspeichern. Dies vereinfacht die Implementierung, ändert allerdings nichts an der eigentlichen Performance.

5.2 Sundae

Sundae [14] ist wie *COLM* auch ein *AEAD*-Algorithmus. Der Unterschied zu *COLM* liegt in der Gerätegruppe, für die *Sundae* entwickelt wurde: *Sundae* wurde für Internet of Things (*IoT*) Geräte entwickelt. Diese sind in der Regel relativ leistungsschwache Geräte, die zum Beispiel mit Sensoren ausgestattet sind, um Wetterdaten zu messen und diese an einen zentralen Server zu versenden. Somit soll *Sundae* gute Verschlüsselungsalgorithmen auf *IoT*-Geräten zur Verfügung stellen.

Um flexibler zu sein, bietet *Sundae* die Möglichkeit, die verwendete Blockchiffre durch eine beliebige andere Blockchiffre zu ersetzen. In dieser Arbeit wurde *Sundae* sowohl mit *GIFT* als auch mit *AES* instanziiert und getestet.

Eine weitere Besonderheit von *Sundae* im Vergleich zu *COLM* ist, dass Sundae ausschließlich den Verschlüsselungsalgorithmus der Blockchiffren benötigt, jedoch nicht den Entschlüsselungsalgorithmus.

Bei der Veröffentlichung von *Sundae* wurden ebenfalls Performance-Zahlen veröffentlicht. Diese sind in Tabelle 3 zu sehen.

5.2.1 Parallelisierung von Sndae

Sndae weist einen wesentlichen Nachteil im Vergleich zu *COLM* auf: *Sndae* ist nicht parallelisierbar, da für die Verschlüsselung von jedem weiteren Block der vorherige Block verschlüsselt sein muss. Der zuvor verschlüsselte Block wird benötigt, um den nächsten Block zu chiffrieren.

Um trotzdem von den Performance-Verbesserungen einer parallel implementierten Blockchiffre zu profitieren, wurden die parallelen *Sndae*-Implementierungen so vorgenommen, dass sie mehrere unabhängige Nachrichten gleichzeitig verschlüsseln können. Zur Vereinfachung wurde davon ausgegangen, dass alle Nachrichten, *nonce* und Assoziierten Daten die gleiche Länge haben. Des Weiteren wurden alle Nachrichten mit dem gleichen Schlüssel verschlüsselt.

5.2.2 Sndae-GIFT

Sndae-GIFT [21] implementiert *Sndae* mit *GIFT* als Blockchiffre. Aus diesem Grund kann die parallele *Sndae-GIFT*-Implementierung vier Nachrichten parallel ver- und entschlüsseln.

5.2.3 Sndae-AES

Sndae-AES verwendet *AES* als Blockchiffre. Da die parallele *AES*-Implementierung auf ARM-Prozessoren mit einer Pipeline-Länge von drei angepasst ist, kann *Sndae-AES* drei unabhängige Nachrichten parallel ver- und entschlüsseln.

Die Spezifikation von *Sndae* wurde ebenfalls mit *AES* instanziiert und getestet. Die daraus resultierenden Zahlen sind in Tabelle 3 zu finden.

	Datengröße in Byte	<i>Sundae-AES</i> (Intel Skylake)	<i>Sundae-AES</i> (ARMv8-A, Cortex-A57)
Seriell	64	6,00	5,42
	128	5,71	5,14
	256	5,57	5,02
	512	5,46	4,92
	1024	5,40	4,86
	2048	5,37	4,84
Parallel	64	1,36	3,16
	128	1,31	2,95
	256	1,29	2,85
	512	1,27	2,80
	1024	1,26	2,78
	2048	1,26	2,76

Tabelle 3: Gemessene Performance-Werte für *Sundae-AES* in Zyklen pro Byte [14]

6 Performance-Studie

6.1 Testverfahren

In diesem Kapitel werden die Testmodalitäten näher erläutert.

Zu allen implementierten Algorithmen wurden Performance-Tests durchgeführt. Dabei wurde berechnet, wie viele CPU-Zyklen nötig sind, um ein Byte an Daten zu verschlüsseln (Zyklen pro Byte, Cycles per Byte, c/b).

Zur Zeitmessung der Algorithmen wurden jeweils unterschiedlich große, zufällig generierte Zeichenketten mit folgenden Datengrößen verschlüsselt:

- 16 Byte (ein Block)
- 1024 Byte
- 2048 Byte
- 4096 Byte
- 8192 Byte

Nach der Zeitmessung wurden die Zyklen pro Byte folgendermaßen berechnet: $cpb = \frac{cps \cdot t}{d}$ mit cpb = Zyklen pro Byte, cps = Zyklen pro Sekunde (Taktrate in Hz), t = gemessene Zeit in Sekunden und d = Datengröße in Bytes.

Außerdem wurden für *COLM* und *Sundae* die Tests mit unterschiedlichen Kombinationen von Nachrichtengröße und Assoziierten Daten (AD) durchgeführt.

Um statistisch stabile Ergebnisse zu erhalten, wurde jeder Test jeweils 10.000 Mal ausgeführt und der Durchschnittswert aller Resultate gebildet.

6.1.1 Testhardware

Als Benchmark für alle Implementierungen kam ein ODROID-N2+ zum Einsatz. Dieser Einplatinencomputer ist mit einem Amlogic S922X-Prozessor ausgestattet, der auf der ARM big.LITTLE-Architektur basiert. Diese charakterisiert Prozessoren mit unterschiedlichen Prozessorkernen. Im Fall des Amlogic S922X handelt es sich um 4 Cortex-A73-Kerne (getaktet auf 1,8 GHz) und zwei Cortex-A53-Kerne (getaktet auf 1,986 GHz). Beide Prozessorkern-Arten bauen wiederum auf der ARMv8-A-Architektur auf.

Um inkonsistente Testergebnisse zu vermeiden, wurden alle Performancetests, wenn nicht anders beschrieben, auf einem der Cortex-A53-Kerne ausgeführt.

Diese verfügen über die ARMv8-Kryptoerweiterung. Somit können darauf die *AES* spezifischen NEON-Instruktionen (und Intrinsics) verwendet werden. Damit lässt sich 128 Bit *AES-ECB* verschlüsseln. Darauf wiederum bauen andere Verschlüsselungsalgorithmen auf.

6.2 AES

Die Implementierung von *AES* lieferte – wie erwartet – die besten Performance-Ergebnisse, da bei Ver- und Entschlüsselung direkt auf in Hardware implementierte Instruktionen zurückgegriffen werden kann. So wird bei einer Taktrate von 1,98 6GHz ein Durchsatz von 2,26 GiB pro Sekunde erreicht.

Die Schlüsselgenerierung der *AES*-Rundenschlüssel kann jedoch nicht direkt mit dekodierten Instruktionen ausgeführt werden. Die dafür verwendete Implementierung (Programmcode 6) benötigte für die Generierung aller Rundenschlüssel im Schnitt 223,7 ns, was in etwa 444 CPU-Zyklen entspricht.

Um die generierten Verschlüsselungs-Rundenschlüssel in Entschlüsselungs-Schlüssel zu überführen, wurden weitere 203 ns (403 CPU-Zyklen) benötigt.

Durch die parallele Implementierung unter Verwendung von Pipelining konnte die Performance von *AES* um mehr als 80% gesteigert werden.

	Datengröße in Byte	Verschlüsseln	Entschlüsseln
Seriell	16	22,29	7,93
	1024	1,92	1,93
	2048	1,74	1,75
	4096	1,66	1,66
	8192	1,61	1,61
Parallel	48	22,24	7,36
	1056	1,21	1,89
	2064	1,01	1,01
	4128	0,93	0,92
	8208	0,88	0,88

Tabelle 4: Zyklen pro Byte für *AES-ECB* 128 Bit.

6.3 GIFT

Die Benchmark-Ergebnisse der in dieser Arbeit implementierten *GIFT*-Version sind signifikant schlechter als die Ergebnisse der *GIFT*-Entwickler [12]. Der Unterschied besteht in der Art der Datenaufteilung in *sclices* für Bitslicing.

Diese Implementierung basiert auf der *GIFT*-Implementierung aus *Sundae-GIFT* [21]. Sie verwendet *word-slicing*, fasst also immer vier Byte zusammen.

Um bei der genannten Technik die Bitpermutation auszuführen, müssen bei der parallelen Implementierung pro Runde 128 Instruktionen ausgeführt werden. Das alleine kostet etwa 300 c/b. Die restlichen 30 c/b verteilen sich gleichmäßig auf den verbleibenden Teil des Algorithmus.

Unabhängig von Performance-Werten von *GIFT* konnte die Geschwindigkeit durch

die Verwendung von *word-slicing* und damit die Verarbeitung von vier Blöcken parallel um ca. 92% verbessert werden.

	Datengröße in Byte	Verschlüsseln
Seriell	16	657,32
	1024	635,87
	2048	635,47
	4096	635,62
	8192	635,56
Parallel	64	334,32
	1024	329,86
	2048	329,69
	4096	329,58
	8192	329,55

Tabelle 5: Zyklen pro Byte für *GIFT*.

Wie bei *AES* auch, wurden bei *GIFT* die Rundenschlüssel ebenfalls vorab generiert. Dies dauerte 595 ns (ca. 1182 CPU-Zyklen). Es fällt auf, dass die Schlüsselgenerierung von *GIFT* ebenfalls sehr viel länger dauert als bei *AES*. Grund hierfür ist, dass *GIFT* über 40 und *AES* nur über 10 Runden verfügt. Deshalb müssen für *GIFT* viermal mehr Schlüssel generiert werden, was die längere Dauer erklärt.

6.3.1 Vergleich verschiedener Prozessoren

Da *GIFT* auf keinerlei kryptographische Instruktionen zurückgreift, kann die identische Implementierung ebenfalls auf anderen Prozessoren ausgeführt werden. Daraus gehen interessante Ergebnisse hervor.

Die oben beschriebenen Ergebnisse wurden auf einem A53-Kern des Amlogic S922X-Prozessors erreicht. Zusätzlich wurde der gleiche Benchmark zum einen auf einem der A73-Kernen des gleichen Prozessors ausgeführt und zum anderen auf einem Raspberry Pi 4 mit einem Cortex-A72 Prozessor mit einer Taktrate von 1,5 GHz, ohne Änderungen am Programmcode vorzunehmen. Ausschließlich die Taktrate des aktuell verwendeten Prozessors musste angepasst werden, um korrekte Zyklen-pro-Byte-Werte zu berechnen.

Außerdem wurden verschiedene Werte für den `mtune`-Parameter getestet. Dieser legt fest, für welchen Prozessor das Kompilat optimiert werden soll.

Auf dem Raspberry Pi wurde der Code einmal mit `-mtune=cortex-72` (native Einstellungen für den Raspberry Pi) und einmal mit `-mtune=cortex-a73.cortex-a53` (native Einstellungen für den Odroid, jedoch nicht für den Raspberry Pi) ausgeführt.

Auf dem Odroid-Board wurde neben oben genannten Tests der *GIFT*-Benchmark sowohl mit dem Parameter `-mtune=cortex-a73.cortex-a53` als auch mit `-mtune=cortex-`

a73 durchgeführt, die beide das Kompilat für den verwendeten Prozessorkern (Cortex-A73) optimieren sollen.

In Tabelle 6 und Tabelle 7 sind die beiden zusätzlichen Benchmarks des Odroid-Boards zu sehen. Beide sind deutlich besser als der Ausgangsbenchmark. Dieses Ergebnis war zu erwarten, da beide Benchmarks auf einem der leistungsfähigeren Cortex-A73 Kerne durchgeführt wurden. Außerdem ist – ebenfalls wie erwartet – zu sehen, dass eine speziell für den Cortex-A73 angefertigte ausführbare Datei die Leistung noch einmal steigert (Tabelle 6).

Interessant ist jedoch, dass der Cortex-A72 des Raspberry Pis sehr viel besser abschneidet als der Cortex-A73. Dies ist insbesondere der Fall, wenn der Compiler die nativen Optimierungen für den Cortex-A72 durchführt (Tabelle 8). Allerdings ist der Cortex-A72 auch dann noch sehr viel schneller als der Cortex-A73, selbst wenn der Compiler die „falschen“, für den S922X-Prozessor nativen Optimierungen, verwendet (Tabelle 9).

	Datengröße in Byte	Verschlüsseln
Seriell	16	570,05
	1024	551,98
	2048	551,81
	4096	551,74
	8192	551,70
Parallel	64	306,96
	1024	301,3
	2048	301,12
	4096	301,03
	8192	301

Tabelle 6: Zyklen pro Byte für *GIFT*. (Board: Odroid, `-mtune=cortex-a73`)

	Datengröße in Byte	Verschlüsseln
Seriell	16	599
	1024	597,77
	2048	597,6
	4096	597,62
	8192	597,49
Parallel	64	316,9
	1024	312,35
	2048	312,16
	4096	312,03
	8192	312,01

Tabelle 7: Zyklen pro Byte für *GIFT*. (Board: Odroid, `-mtune=cortex-a73.cortex-a53`)

	Datengröße in Byte	Verschlüsseln
Seriell	16	534,57
	1024	526,86
	2048	527,15
	4096	526,83
	8192	526,77
Parallel	64	234,02
	1024	228,66
	2048	228,47
	4096	228,46
	8192	228,41

Tabelle 8: Zyklen pro Byte für *GIFT*. (Board: Raspberry Pi 4, `-mtune=cortex-a72`)

	Datengröße in Byte	Verschlüsseln
Seriell	16	547,28
	1024	539,43
	2048	539,39
	4096	539,39
	8192	539,32
Parallel	64	239,34
	1024	233,79
	2048	233,69
	4096	233,72
	8192	233,68

Tabelle 9: Zyklen pro Byte für *GIFT*. (Board: Raspberry Pi 4, `-mtune=cortex-a73.cortex-a53`)

6.4 LightMAC

LightMAC ist ein sehr kleiner und leichtgewichtiger Algorithmus. Hauptbestandteil des Algorithmus sind die Blockchiffren-Aufrufe. Da pro Datenblock zwei dieser Aufrufe getätigt werden müssen, ist die Performance von *LightMAC* stark von der Performance der verwendeten Blockchiffre abhängig.

Dies spiegelt sich ebenfalls in den Benchmark-Ergebnissen wieder (Tabelle 10). Die sehr performante Implementierung von *AES* ermöglicht *LightMAC* ebenfalls eine sehr gute Leistung. Dabei fügt *LightMAC* nur 1,42 c/b zum reinen *AES-ECB*-Algorithmus hinzu, wobei hierfür hier jeweils doppelt so viele *AES*-Aufrufe getätigt werden.

Genau so wie *LightMAC* von der guten Performance von *AES* profitiert, leidet es extrem unter den schlechten Zahlen von *GIFT*. Außerdem fällt hier umso mehr ins Gewicht, dass doppelt so viele Blockchiffren-Aufrufe durchgeführt werden, was die Performancezahlen auf über 660 c/b steigen lässt. Dies schlägt sich unmittelbar auf den Durchsatz des Algorithmus nieder: Die *GIFT*-Version von *LightMAC* kann bei einer Taktrate von 1,986 GHz in dieser Implementierung ca. 3 MiB an Daten pro Sekunde verarbeiten. Die *AES*-Version schafft auf gleicher Hardware über 860 MiB pro Sekunde.

Die Performanceverbesserung von paralleler gegenüber der serieller Implementierung liegt für die *AES*-Version bei ca. 86%, für die *GIFT*-Version bei über 91%. (Tabelle 10)

Im Vergleich zu den Tests der *LightMAC*-Entwickler ist diese Implementierung um 1,67 c/b langsamer. Dieses Ergebnis war allerdings zu erwarten, da Entwickler-Implementierung auf einem Intel CPU mit *AVX2* umgesetzt wurde.

	Datengröße in Byte	<i>AES</i>	<i>GIFT</i>
Seriell	16	61,66	1398,75
	1024	5,05	1274,34
	2048	4,6	1273,38
	4096	4,38	1272,86
	8192	4,3	1272,63
Parallel	16	63,13	1398,51
	1024	3,14	681,36
	2048	2,66	670,89
	4096	2,42	665,66
	8192	2,3	663

Tabelle 10: Zyklen pro Byte für *LightMAC*.

6.5 COLM

Da *COLM* ausschließlich *AES* als Blockchiffre verwendet, kann davon ausgegangen werden, dass die *COLM*-Implementierung in den Benchmarks sehr gut abschneidet.

Allerdings sind die Performanceunterschied von serieller zur parallelen Implementierung deutlich kleiner als bei der reinen *AES*-Implementierung.

6.5.1 COLM0

COLM0 erreicht mit der parallelen Implementierung einen Durchsatz von über 675 MiB pro Sekunden. Die Performancesteigerung von der seriellen zur parallelen Implementierung liegt hier bei ca. 34%. (Tabelle 11)

		Datengröße in Byte			
		Nachrichten	Assoziierte Daten	Verschlüsseln	Entschlüsseln
Seriell	0	16	70,04	77,61	
	0	1024	3,53	3,63	
	0	2048	2,96	3,01	
	0	4096	2,67	2,70	
	0	8192	2,54	2,55	
	16	0	69,67	75,82	
	1024	0	6,4	6,52	
	2048	0	5,84	5,94	
	4096	0	5,57	5,65	
	8192	0	5,43	5,54	
	16	16	34,93	38,25	
	1024	1024	4,35	4,41	
	2048	2048	4,09	4,15	
	4096	4096	3,96	4,01	
	8192	8192	3,94	3,98	
Parallel	0	16	72,65	79,88	
	0	1024	2,93	3,03	
	0	2048	2,35	2,40	
	0	4096	2,05	2,06	
	0	8192	1,9	1,90	
	16	0	72,01	75,01	
	1024	0	5,08	5,05	
	2048	0	4,52	4,46	
	4096	0	4,2	4,16	
	8192	0	4,06	4,03	
	16	16	36,64	37,58	
	1024	1024	3,4	3,38	
	2048	2048	3,13	3,10	
	4096	4096	2,97	2,96	
	8192	8192	2,94	2,91	

Tabelle 11: Zyklen pro Byte für *COLM0*.

6.5.2 COLM127

Die Performance-Ergebnisse von *COLM127* sind – wie zu erwarten – etwas höher als die von *COLM0*. Der Grund dafür ist, dass alle 127 Blöcke ein *tag* der bisher verarbeiteten Daten erstellt beziehungsweise verifiziert werden muss.

Die Performance-Verbesserungen der parallelen gegenüber der seriellen Implementierung liegt bei *COLM127* bei unter 30% und damit noch unter der Verbesserungsrate von *COLM0*.

Dieses Ergebnis war ebenfalls zu erwarten, da die *tag*-Generierung/Verifizierung einen Block gesondert verarbeitet. Dies kann nicht parallelisiert werden.

Trotzdem erreicht *COLM127* einen Durchsatz von über 620 MiB pro Sekunde für Ver- und Entschlüsselung. (Tabelle 12)

	Datengröße in Byte		Verschlüsseln	Entschlüsseln
	Nachrichten	Assoziierte Daten		
Seriell	0	16	70,32	79,26
	0	1024	3,53	3,67
	0	2048	2,96	3,06
	0	4096	2,68	2,72
	0	8192	2,53	2,57
	16	0	70,81	75,3
	1024	0	6,68	6,9
	2048	0	6,12	6,28
	4096	0	5,84	5,97
	8192	0	5,71	5,81
	16	16	36,06	37,73
	1024	1024	4,51	4,59
	2048	2048	4,23	4,32
	4096	4096	4,12	4,17
	8192	8192	4,09	4,12
Parallel	0	16	75,65	81,18
	0	1024	2,99	3,1
	0	2048	2,37	2,43
	0	4096	2,05	2,08
	0	8192	1,9	1,92
	16	0	75,14	77
	1024	0	5,51	5,61
	2048	0	4,92	5,08
	4096	0	4,6	4,74
	8192	0	4,45	4,6
	16	16	38,82	39,18
	1024	1024	3,59	3,65
	2048	2048	3,33	3,39
	4096	4096	3,17	3,24
	8192	8192	3,15	3,2

Tabelle 12: Zyklen pro Byte für *COLM127*.

6.6 Sundae

Sundae ist ein Algorithmus, der für leistungsschwache Prozessoren entwickelt wurden, die zum Beispiel in Internet of Things-Geräten (*IoT*) eingesetzt werden.

Aufgrund dieses Designs generiert *Sundae* extrem wenig Overhead über die eingesetzte Blockchiffre. Natürlich ist hier wieder zu erwarten, dass *Sundae-GIFT* sehr schlechte Performancewerte erhalten wird. Dies ist, ebenso wie in *LightMAC*, auch wieder der Implementierung von *GIFT* geschuldet.

6.6.1 Sundae-GIFT

Sundae-GIFT erreicht im besten Fall 496,51 c/b für die Verschlüsselung. Dies entspricht einem Durchsatz von ca. 3,3 MiB pro Sekunde. Die Performance-Steigerung durch die Verarbeitung von vier Nachrichten parallel gegenüber der seriellen Verarbeitung beträgt ca 92%. Dieser Wert ist auf die Performance-Steigerung der parallelen *GIFT*-Implementierung zurückzuführen. Der übrige Teil des *Sundae*-Algorithmus ist sehr leichtgewichtig und fällt so gegenüber der langsamen *GIFT*-Implementierung kaum ins Gewicht. (Tabelle 13)

Datengröße in Byte				
	Nachrichten	Assoziierte Daten	Verschlüsseln	Entschlüsseln
Seriell	0	16	2135,64	2132,68
	0	1024	658,7	658,88
	0	2048	647,53	647,6
	0	4096	642,1	642,09
	0	8192	639,31	639,27
	16	0	2817,51	2821,97
	1024	0	1294,86	1295,28
	2048	0	1283,76	1283,8
	4096	0	1278,15	1278,1
	8192	0	1275,16	1275,06
	16	16	1749,33	1249,33
	1024	1024	966,27	966,57
	2048	2048	960,4	960,47
	4096	4096	957,45	957,52
	8192	8192	956	956,10
Parallel	0	16	1094,55	1095,64
	0	1024	341,83	341,9
	0	2048	336,12	336,13
	0	4096	333,3	333,27
	0	8192	331,94	331,91
	16	0	1448,16	1451,5
	1024	0	672	672,3
	2048	0	672,3	666,43
	4096	0	666,26	663,59
	8192	0	661,99	662,45
	16	16	901,61	902,66
	1024	1024	501,61	501,66
	2048	2048	498,48	498,64
	4096	4096	497,01	497,28
	8192	8192	496,51	497,09

Tabelle 13: Zyklen pro Byte für *Sundae-GIFT*.

6.6.2 Sundae-AES

Sundae-AES erreicht deutlich bessere Performance-Werte als *Sundae-GIFT*. Durch die parallelen Implementierung erreicht *Sundae-AES* mit 1,97 c/b nur 1,09 c/b mehr als *AES-ECB*. Das entspricht einem Durchsatz von 1 GiB pro Sekunde. Die Verbesserung der parallelen gegenüber der seriellen Implementierung liegt bei ca. 65%. (Tabelle 14)

Diese Implementierung von *Sundae-AES* ist bei der Verschlüsselung um 0,79 c/b schneller als die ARM-Implementierung der *Sundae-AES*-Entwickler (Tabelle 3). Dies entspricht einer Performancesteigerung um ca. 40%.

		Datengröße in Byte			
		Nachrichten	Assoziierte Daten	Verschlüsseln	Entschlüsseln
Seriell	0	16	71,65	76,38	
	0	1024	3,55	3,55	
	0	2048	2,82	2,83	
	0	4096	2,48	2,49	
	0	8192	2,36	2,35	
	16	0	78,58	84,73	
	1024	0	5,19	5,12	
	2048	0	4,64	4,48	
	4096	0	4,33	4,17	
	8192	0	4,21	4,06	
	16	16	41,45	43,11	
	1024	1024	3,87	3,79	
	2048	2048	3,48	3,38	
	4096	4096	3,27	3,2	
	8192	8192	3,26	3,18	
Parallel	0	16	35,46	38,12	
	0	1024	2,02	2,04	
	0	2048	1,65	1,66	
	0	4096	1,48	1,48	
	0	8192	1,48	1,46	
	16	0	39,66	46,66	
	1024	0	3	3,19	
	2048	0	2,72	2,76	
	4096	0	2,58	2,63	
	8192	0	2,51	2,68	
	16	16	21,78	24,8	
	1024	1024	2,28	2,36	
	2048	2048	2,06	2,11	
	4096	4096	2	2,07	
	8192	8192	1,97	2,04	

Tabelle 14: Zyklen pro Byte für *Sundae-AES*.

7 Fazit

Im Vorhergehenden wurde die Implementierung und Optimierung von kryptographischen Algorithmen auf der ARMv8-Basis beschrieben. Unter Verwendung der ARM NEON-Instruktionen wurden Varianten von *COLM*, *Sundae*, *LightMAC* sowie die Blockchiffren *GIFT* und *AES* implementiert. Die *AES*-Implementierung wurde dabei mittels der ARM-Kryptoerweiterung durchgeführt.

Anschließend wurden alle Algorithmen in der Performance-Studie getestet und deren Performance-Werte gemessen. Relevante Ergebnisse können wie folgt zusammengefasst werden:

Die verwendete *GIFT*-Implementierung ist aufgrund ihrer geringen Geschwindigkeit nicht produktiv einsetzbar. Eine mögliche Beschleunigung könnte mittels eines anderen Bitslicings erreicht werden. Allerdings ist zu erwarten, dass die Performance-Werte für ARM-Prozessoren höher und damit langsamer sein werden als auf Intel-Prozessoren, die die *GIFT*-Entwickler für ihre Tests einsetzten. Diese Prozessoren setzten *AVX2* ein, die über 256 Bit-Register verfügen. So können mit *AVX2* doppelt so viele Daten gleichzeitig verarbeitet werden als mit NEON.

Wenn möglich sollte als Alternative zu *GIFT* *AES* eingesetzt werden, da die von der ARMv8-Architektur angebotenen *AES*-Instruktionen eine sehr performante Implementierung ermöglichen. Des Weiteren bieten die *AES*-Instruktionen den Vorteil, dass der Maschinencode sehr klein gehalten werden kann, da für eine vollständige *AES*-Implementierung nur eine geringe Anzahl von Instruktionen benötigt wird.

So ist es möglich, auf ARM-basierten Geräten auch sehr robuste und damit komplexe Algorithmen wie *COLM* performant auszuführen.

Für noch leistungsschwächere Geräte als der Odroid kann mittels *Sundae* eine performante, authentifizierte Chiffre mit Assoziierten Daten eingesetzt werden. Diese erreichte im durchgeführten Test einen Durchsatz von über 1 GiB pro Sekunde.

Die während der Arbeit entstandene Implementierung weist eine um ca. 40% schnellere Verarbeitung von Daten auf als die Entwickler-Implementierung für ARM.

Falls keine authentifizierte Chiffre wie *Sundae* oder *COLM* verwendet werden kann, bietet *LightMAC* mit dem *Encrypt-then-MAC*-scheme eine gute Alternative. Mit einem Durchsatz von über 860 MiB pro Sekunde in der *AES*-Version befindet sich *LightMAC* unter den implementierten Algorithmen im Mittelfeld vor *COLM* und hinter *Sundae*.

Dabei ist zu beachten, dass die ARM-Kryptoinstruktionen nicht auf allen ARM-Prozessoren verfügbar sind. Das Lizenzmodell von ARM erwartet eine gesonderte Lizenzierung der Kryptoerweiterung. So ist der Markt für Einplatinencomputer mit Kryptoerweiterung sehr überschaubar. Die bekanntesten Einplatinencomputer wie der Raspberry Pi unterstützen diese Erweiterung nicht. Allerdings sind die Kryptoinstruktionen in Prozessoren für Mobiltelefone in der Regel freigeschaltet, da sie dort für die Speicher-verschlüsselung verwendet werden.

Als Resümee geht aus dieser Arbeit hervor, dass ARM-Prozessoren durchaus mit größeren Intel- und AMD-Prozessoren mithalten können. Aktuell liegen ARM-Prozessoren noch leicht hinter den großen Prozessoren zurück, allerdings ist zu erwarten, dass sie diesen Rückstand in der Zukunft aufholen werden.

7.1 Persönliche Anmerkungen

In dieser Arbeit habe ich sehr tiefe Einblicke in die Implementierung von kryptografischen Algorithmen und die damit verbundenen Herausforderungen erhalten. Dazu zählen beispielsweise das Vermeiden von Verzweigungen innerhalb von Algorithmen oder das Bitslicing von Daten.

Außerdem habe ich mich im Rahmen dieser Bachelorarbeit intensiv mit der Programmiersprache C und deren Build-Toolchain mittels (make und gcc) beschäftigt. Dies hat mir interessante Einblicke in hardwarenahe Programmierung gegeben. Des Weiteren machte ich neue Erfahrungen mit dem Programmierparadigma „Single instruction, multiple data“.

Zudem konnte ich den Einfluss des Compilers und dessen Optimierungen auf die Laufzeit des Programms besser einschätzen lernen.

Durch die Auswahl der verwendeten Hardware konnte ich mir einen Überblick über die Cortex-Prozessorserie und deren Funktionen verschaffen. Damit einhergehend habe ich ebenfalls Einblicke in das Lizenz-Modell von ARM bekommen, dass es den meisten Einplatinencomputern verbietet die Kryptoerweiterung zu verwenden.

Dank

An dieser Stelle danke ich Herrn Prof. Dr. E. Tischhauser für seine Anregungen und seine permanente, konstruktive Unterstützung. Obwohl Herr Prof. Dr. Tischhauser erst vor kurzem an die Philipps Universität Marburg berufen wurde und somit noch keine wissenschaftlichen Mitarbeiter hatte, stand er jederzeit für Fragen und fachlichen Austausch zur Verfügung.

8 Anhang

8.1 Algorithmen

8.1.1 AES

Programmcode 9 aes_crypto.h

```

1  #ifndef AES_CRYPT0_ARM
2  #define AES_CRYPT0_ARM
3
4  #include <stdint.h>
5  #include <stddef.h>
6  #include <stdlib.h>
7  #include "arm_neon.h"
8  #define BLOCKSIZE 16
9  #define AES_NEXT_ROUND_KEY(k, rcon) aes_next_round_key(k, rcon)
10
11 extern uint8x16_t zero_vector;
12
13 uint8x16_t aes_ecb_encrypt(uint8x16_t block, uint8x16_t key);
14 uint8x16_t aes_ecb_decrypt(uint8x16_t block, uint8x16_t key);
15 void aes_generate_all_decryptionkeys(uint8x16_t* encryption_keys, uint8x16_t*
    ↪ decryption_keys);
16 void aes_generate_all_encryptionkeys(uint8x16_t key, uint8x16_t*
    ↪ encryption_keys);
17 uint8x16_t aes_ecb_encrypt_nokeygen(uint8x16_t block, uint8x16_t* round_keys)
    ↪ ;
18 uint8x16_t aes_ecb_decrypt_nokeygen(uint8x16_t block, uint8x16_t* round_keys)
    ↪ ;
19 uint8x16_t aes_next_round_key(uint8x16_t key, uint8_t rcon);
20
21 #define AES_ENCRYPT(block, keys) do { \
22     block = vrev64q_u8(block); \
23     for (uint8_t i = 0; i < 9; i++) \
24     { \
25         block = vaesmcq_u8(vaeseq_u8(block, keys[i])); \
26     } \
27     block = vaeseq_u8(block, keys[9]); \
28     block = veorq_u8(block, keys[10]); \
29     block = vrev64q_u8(block); \
30 } while (0)
31
32 #define AES_DECRYPT(block, keys) do { \
33     block = vrev64q_u8(block); \
34     block = vaesdq_u8(block, keys[10]); \
35     for (uint8_t i = 9; i >= 1; i--) \
36     { \
37         block = vaesdq_u8(vaesimcq_u8(block), keys[i]); \
38     } \
39     block = veorq_u8(block, keys[0]); \
40     block = vrev64q_u8(block); \
41 } while (0)

```

```

42
43 #define AES_ENCRYPT3(block1, block2, block3, keys) do { \
44     block1 = vrev64q_u8(block1); \
45     block2 = vrev64q_u8(block2); \
46     block3 = vrev64q_u8(block3); \
47     for (uint8_t i = 0; i < 9; i++) \
48     { \
49         block1 = vaesmcq_u8(vaeseq_u8(block1, keys[i])); \
50         block2 = vaesmcq_u8(vaeseq_u8(block2, keys[i])); \
51         block3 = vaesmcq_u8(vaeseq_u8(block3, keys[i])); \
52     } \
53     block1 = vaeseq_u8(block1, keys[9]); \
54     block1 = veorq_u8(block1, keys[10]); \
55     block2 = vaeseq_u8(block2, keys[9]); \
56     block2 = veorq_u8(block2, keys[10]); \
57     block3 = vaeseq_u8(block3, keys[9]); \
58     block3 = veorq_u8(block3, keys[10]); \
59     block1 = vrev64q_u8(block1); \
60     block2 = vrev64q_u8(block2); \
61     block3 = vrev64q_u8(block3); \
62     } while (0)
63
64 #define AES_DECRYPT3(block1, block2, block3, keys) do { \
65     block1 = vrev64q_u8(block1); \
66     block2 = vrev64q_u8(block2); \
67     block3 = vrev64q_u8(block3); \
68     block1 = vaesdq_u8(block1, keys[10]); \
69     block2 = vaesdq_u8(block2, keys[10]); \
70     block3 = vaesdq_u8(block3, keys[10]); \
71     for (uint8_t i = 9; i >= 1; i--) \
72     { \
73         block1 = vaesdq_u8(vaesimcq_u8(block1), keys[i]); \
74         block2 = vaesdq_u8(vaesimcq_u8(block2), keys[i]); \
75         block3 = vaesdq_u8(vaesimcq_u8(block3), keys[i]); \
76     } \
77     block1 = veorq_u8(block1, keys[0]); \
78     block1 = vrev64q_u8(block1); \
79     block2 = veorq_u8(block2, keys[0]); \
80     block2 = vrev64q_u8(block2); \
81     block3 = veorq_u8(block3, keys[0]); \
82     block3 = vrev64q_u8(block3); \
83     } while (0)
84
85
86 #define AES_SET_ENCRYPTION_KEYS(key, encryption_keys) do { \
87     encryption_keys[0] = key; \
88     encryption_keys[1] = AES_NEXT_ROUND_KEY(key, 0x01); \
89     encryption_keys[2] = AES_NEXT_ROUND_KEY(key, 0x02); \
90     encryption_keys[3] = AES_NEXT_ROUND_KEY(key, 0x04); \
91     encryption_keys[4] = AES_NEXT_ROUND_KEY(key, 0x08); \
92     encryption_keys[5] = AES_NEXT_ROUND_KEY(key, 0x10); \
93     encryption_keys[6] = AES_NEXT_ROUND_KEY(key, 0x20); \
94     encryption_keys[7] = AES_NEXT_ROUND_KEY(key, 0x40); \
95     encryption_keys[8] = AES_NEXT_ROUND_KEY(key, 0x80); \

```

```
96         encryption_keys[9] = AES_NEXT_ROUND_KEY(key, 0x1b); \  
97         encryption_keys[10] = AES_NEXT_ROUND_KEY(key, 0x36); \  
98     } while(0)  
99  
100 #define AES_SET_DECRYPTION_KEYS(encryption_keys, decryption_keys) do { \  
101     decryption_keys[0] = encryption_keys[0]; \  
102     decryption_keys[1] = vaesimcq_u8(encryption_keys[1]); \  
103     decryption_keys[2] = vaesimcq_u8(encryption_keys[2]); \  
104     decryption_keys[3] = vaesimcq_u8(encryption_keys[3]); \  
105     decryption_keys[4] = vaesimcq_u8(encryption_keys[4]); \  
106     decryption_keys[5] = vaesimcq_u8(encryption_keys[5]); \  
107     decryption_keys[6] = vaesimcq_u8(encryption_keys[6]); \  
108     decryption_keys[7] = vaesimcq_u8(encryption_keys[7]); \  
109     decryption_keys[8] = vaesimcq_u8(encryption_keys[8]); \  
110     decryption_keys[9] = vaesimcq_u8(encryption_keys[9]); \  
111     decryption_keys[10] = encryption_keys[10]; \  
112 } while (0)  
113  
114 #endif
```

Programmcode 10 aes_crypto.c

```

1 #include "aes_crypto.h"
2 #include <stdio.h>
3
4
5
6 uint8x16_t zero_vector = {0, 0, 0, 0, 0, 0, 0, 0, 0, 0, 0, 0, 0, 0, 0, 0};
7
8
9 // generate the next roundkey
10 uint8x16_t aes_next_round_key(uint8x16_t key, uint8_t rcon)
11 {
12
13     // aes keygen assist
14     uint8x16_t key_with_rcon = vaeseq_u8(key, zero_vector);
15     key_with_rcon = vqtbl1q_u8(key_with_rcon, ((uint8x16_t){0x9, 0x6, 0x3, 0xc,
16         ↪ 0x9, 0x6, 0x3, 0xc, 0x9, 0x6, 0x3, 0xc, 0x9, 0x6, 0x3, 0xc}));
17     key_with_rcon = veorq_u8(key_with_rcon, ((uint8x16_t){rcon,0,0,0,rcon,0,0,0,
18         ↪ rcon,0,0,0,rcon,0,0,0}));
19
20     uint8x16_t temp_key = veorq_u8(key, vextq_u8(zero_vector, key, 12)); //
21         ↪ vextq_u8 in this configuration effectivly shifts key 4 bytes to the
22         ↪ left
23     temp_key = veorq_u8(temp_key, vextq_u8(zero_vector, key, 8));
24     temp_key = veorq_u8(temp_key, vextq_u8(zero_vector, key, 4));
25     return veorq_u8(temp_key, key_with_rcon);
26 }
27
28 void aes_generate_all_decryptionkeys(uint8x16_t* encryption_keys, uint8x16_t*
29     ↪ decryption_keys)
30 {
31     decryption_keys[0] = encryption_keys[0];
32     decryption_keys[1] = vaesimcq_u8(encryption_keys[1]);
33     decryption_keys[2] = vaesimcq_u8(encryption_keys[2]);
34     decryption_keys[3] = vaesimcq_u8(encryption_keys[3]);
35     decryption_keys[4] = vaesimcq_u8(encryption_keys[4]);
36     decryption_keys[5] = vaesimcq_u8(encryption_keys[5]);
37     decryption_keys[6] = vaesimcq_u8(encryption_keys[6]);
38     decryption_keys[7] = vaesimcq_u8(encryption_keys[7]);
39     decryption_keys[8] = vaesimcq_u8(encryption_keys[8]);
40     decryption_keys[9] = vaesimcq_u8(encryption_keys[9]);
41     decryption_keys[10] = encryption_keys[10];
42 }
43
44 void aes_generate_all_encryptionkeys(uint8x16_t key, uint8x16_t*
45     ↪ encryption_keys)
46 {
47     encryption_keys[0] = key;
48     encryption_keys[1] = AES_NEXT_ROUND_KEY(key, 0x01);
49     encryption_keys[2] = AES_NEXT_ROUND_KEY(key, 0x02);
50     encryption_keys[3] = AES_NEXT_ROUND_KEY(key, 0x04);
51     encryption_keys[4] = AES_NEXT_ROUND_KEY(key, 0x08);
52     encryption_keys[5] = AES_NEXT_ROUND_KEY(key, 0x10);
53 }

```

```
47 encryption_keys[6] = AES_NEXT_ROUND_KEY(key, 0x20);
48 encryption_keys[7] = AES_NEXT_ROUND_KEY(key, 0x40);
49 encryption_keys[8] = AES_NEXT_ROUND_KEY(key, 0x80);
50 encryption_keys[9] = AES_NEXT_ROUND_KEY(key, 0x1b);
51 encryption_keys[10] = AES_NEXT_ROUND_KEY(key, 0x36);
52 }
53
54 uint8x16_t aes_ecb_encrypt_nokeygen(uint8x16_t block, uint8x16_t* round_keys)
55 {
56     AES_ENCRYPT(block, round_keys);
57     return block;
58 }
59
60 uint8x16_t aes_ecb_decrypt_nokeygen(uint8x16_t block, uint8x16_t* round_keys)
61 {
62     AES_DECRYPT(block, round_keys);
63     return block;
64 }
65
66 uint8x16_t aes_ecb_encrypt(uint8x16_t block, uint8x16_t key)
67 {
68     uint8x16_t round_keys[11];
69     aes_generate_all_encryptionkeys(key, round_keys);
70     return aes_ecb_encrypt_nokeygen(block, round_keys);
71 }
72
73 uint8x16_t aes_ecb_decrypt(uint8x16_t block, uint8x16_t key)
74 {
75     uint8x16_t round_keys[11];
76     aes_generate_all_encryptionkeys(key, round_keys);
77     aes_generate_all_decryptionkeys(round_keys, round_keys);
78     return aes_ecb_decrypt_nokeygen(block, round_keys);
79 }
```

8.1.2 COLM

Programmcode 11 colm.c

```

1 #include "colm.h"
2
3
4 #define EQUALS(a, b) (vaddlvq_u8(veorq_u8(a, b)) == 0)
5
6
7 #define RHO_INPLACE(x, st, w_new) do { \
8     w_new = veorq_u8(gf_mul2(st), x); \
9     x = veorq_u8(w_new, st); \
10    st = w_new; \
11    } while(0)
12
13 #define RHO_INVERSE_INPLACE(y, st, w_new) do { \
14     w_new = gf_mul2(st); \
15     st = veorq_u8(st, y); \
16     y = veorq_u8(w_new, st); \
17    } while(0)
18
19 #define LOAD_BLOCK(ptr) vrev64q_u8(vld1q_u8(ptr)) // load and change
20     ↪ endianness
21 #define STORE_BLOCK(ptr, block) vst1q_u8(ptr, vrev64q_u8(block))
22
23 uint8x16_t gf_mul2(uint8x16_t x)
24 {
25     uint8x16_t temp = vreinterpretq_u8_s8(vshrq_n_s8(vreinterpretq_s8_u8(x), 7))
26     ↪ ;
27     uint8x16_t x64 = vshlq_n_u8(x, 1); // multiply by two
28     x64 = vorrq_u8(x64, vandq_u8(vextq_u8(temp, zero_vector, 1), ((uint8x16_t)
29     ↪ {1,1,1,1,1,1,1,1,1,1,1,1,1,1,0}))); // handle overflow bit from
30     ↪ lower bytes to higher bytes
31     return veorq_u8(x64, vandq_u8(vdupq_laneq_u8(temp, 0), (uint8x16_t){0, 0, 0,
32     ↪ 0, 0, 0, 0, 0, 0, 0, 0, 0, 0, 0, 0x87})));
33 }
34
35 uint8x16_t gf_mul3(uint8x16_t x)
36 {
37     return veorq_u8(gf_mul2(x), x);
38 }
39
40 uint8x16_t gf_mul7(uint8x16_t x)
41 {
42     uint8x16_t tmp = gf_mul2(x);
43     return veorq_u8(veorq_u8(gf_mul2(tmp), tmp), x);
44 }
45
46 uint8x16_t mac(uint8x16_t npub_param, uint8_t* associated_data, const
47     ↪ uint64_t data_len, uint8x16_t L, uint8x16_t* aes_round_keys)
48 {
49     uint8_t* in = associated_data;
50     uint64_t len = data_len;

```

```

45  uint8_t buf[16] = { 0 };
46  uint8x16_t block, v, delta = gf_mul3(L);
47  v = veorq_u8(vrev64q_u8(npub_param), delta);
48  AES_ENCRYPT(v, aes_round_keys);
49
50  while (len >= BLOCKSIZE) {
51      block = LOAD_BLOCK(in); //vld1q_u8(in);
52
53      delta = gf_mul2(delta);
54
55      block = veorq_u8(block, delta);
56
57      AES_ENCRYPT(block, aes_round_keys);
58
59      v = veorq_u8(v, block);
60
61      in += BLOCKSIZE;
62      len -= BLOCKSIZE;
63  }
64
65  if (len > 0) { /* last block partial */
66      delta = gf_mul7(delta);
67      memcpy(buf, in, len);
68      buf[len] ^= 0x80; /* padding */
69      block = LOAD_BLOCK(buf);
70      block = veorq_u8(delta, block);
71
72      AES_ENCRYPT(block, aes_round_keys);
73      v = veorq_u8(v, block);
74  }
75
76  return v;
77 }
78
79
80
81 /* ----- COLM 0 ----- */
82
83 int8_t colm0_encrypt(uint8_t* message, uint64_t message_len, uint8_t*
    ↪ associated_data, uint64_t data_len, uint64_t npub, uint8x16_t key,
    ↪ uint64_t* c_len, uint8_t* ciphertext)
84 {
85     uint8x16_t checksum = {0,0,0,0,0,0,0,0,0,0,0,0,0,0,0,0};
86     uint8x16_t w, w_tmp;
87     uint8x16_t block;
88     uint8x16_t aes_round_keys[11];
89     uint8x16_t delta_m, delta_c;
90     uint8x16_t L = {0,0,0,0,0,0,0,0,0,0,0,0,0,0,0,0};
91
92     const uint8_t* in = message;
93     uint8_t* out = ciphertext;
94     uint64_t remaining = message_len;
95     uint8_t buf[BLOCKSIZE] = { 0 };
96

```

```

97  *c_len = message_len + BLOCKSIZE;
98
99  AES_SET_ENCRYPTION_KEYS(key, aes_round_keys);
100
101  AES_ENCRYPT(L, aes_round_keys);
102
103  w = mac(vreinterpretq_u8_u64(vcombine_u64(vcreate_u64(npub), ((uint64_t){0
    ↪ x0000800000000000}))), associated_data, data_len, L, aes_round_keys);
104
105
106  delta_m = L;
107  delta_c = gf_mul3(gf_mul3(L));
108
109
110
111  while(remaining > BLOCKSIZE)
112  {
113      delta_m = gf_mul2(delta_m);
114
115      block = LOAD_BLOCK(in);
116
117      checksum = veorq_u8(checksum, block);
118
119      block = veorq_u8(block, delta_m);
120
121      AES_ENCRYPT(block, aes_round_keys);
122
123      delta_c = gf_mul2(delta_c);
124
125      RHO_INPLACE(block, w, w_tmp);
126
127      AES_ENCRYPT(block, aes_round_keys);
128
129      block = veorq_u8(block, delta_c);
130
131      STORE_BLOCK(out, block);
132
133      in += BLOCKSIZE;
134      out += BLOCKSIZE;
135      remaining -= BLOCKSIZE;
136  }
137
138
139  // handyle remaining bytes
140  memcpy(buf, in, remaining);
141
142  delta_m = gf_mul7(delta_m);
143  delta_c = gf_mul7(delta_c);
144
145  // pad if nessesary
146  if (remaining < BLOCKSIZE) {
147      buf[remaining] = 0x80;
148      delta_m = gf_mul7(delta_m);
149      delta_c = gf_mul7(delta_c);

```

```

150 }
151
152 block = LOAD_BLOCK(buf); //vld1q_u8(buf);
153
154 block = checksum = veorq_u8(checksum, block);
155
156 block = veorq_u8(block, delta_m);
157
158 AES_ENCRYPT(block, aes_round_keys);
159
160 RHO_INPLACE(block, w, w_tmp);
161
162 AES_ENCRYPT(block, aes_round_keys);
163
164 block = veorq_u8(block, delta_c);
165
166 STORE_BLOCK(out, block);
167
168 out += BLOCKSIZE;
169
170
171 // if remaining == 0
172 if (remaining == 0) return 0;
173
174
175
176 // add checksum
177 delta_m = gf_mul2(delta_m);
178 delta_c = gf_mul2(delta_c);
179
180 block = veorq_u8(delta_m, checksum);
181 AES_ENCRYPT(block, aes_round_keys);
182
183 RHO_INPLACE(block, w, w_tmp);
184
185 AES_ENCRYPT(block, aes_round_keys);
186 block = veorq_u8(block, delta_c);
187
188 STORE_BLOCK((uint8_t*)buf, block);
189 memcpy(out, buf, remaining);
190
191 return 0;
192 }
193
194 int8_t colm0_decrypt(uint8_t* ciphertext, uint64_t len, uint8_t*
    ↪ associated_data, uint64_t data_len, uint64_t npub, uint8x16_t key,
    ↪ uint64_t* m_len, uint8_t* message)
195 {
196     uint8x16_t checksum = {0,0,0,0,0,0,0,0,0,0,0,0,0,0,0,0};
197     uint8x16_t w, w_tmp;
198     uint8x16_t block;
199     uint8x16_t encryption_keys[11];
200     uint8x16_t decryption_keys[11];
201     uint8x16_t delta_m, delta_c;

```

```

202  uint8x16_t L = {0,0,0,0,0,0,0,0,0,0,0,0,0,0,0,0};
203
204  const uint8_t* in = ciphertext;
205  uint8_t* out = message;
206  uint64_t remaining = *m_len = len - BLOCKSIZE;
207  uint32_t i;
208  uint8_t buf[BLOCKSIZE] = { 0 };
209
210  if (len < BLOCKSIZE)
211  {
212      // -1 => invalid size of ciphertext
213      return -1;
214  }
215
216  AES_SET_ENCRYPTION_KEYS(key, encryption_keys);
217  AES_SET_DECRYPTION_KEYS(encryption_keys, decryption_keys);
218
219  AES_ENCRYPT(L, encryption_keys);
220  delta_m = L;
221  delta_c = gf_mul3(gf_mul3(L));
222
223  w = mac(vreinterpretq_u8_u64(vcombine_u64(vcreate_u64(npub), ((uint64x1_t){0
    ↪ x0000800000000000}))))), associated_data, data_len, L, encryption_keys);
224
225
226  while (remaining > BLOCKSIZE) {
227      delta_c = gf_mul2(delta_c);
228
229      block = LOAD_BLOCK(in);
230
231      block = veorq_u8(block, delta_c);
232
233      AES_DECRYPT(block, decryption_keys);
234
235      delta_m = gf_mul2(delta_m);
236
237      RHO_INVERSE_INPLACE(block, w, w_tmp);
238
239      AES_DECRYPT(block, decryption_keys);
240
241      block = veorq_u8(block, delta_m);
242
243      checksum = veorq_u8(checksum, block);
244
245      STORE_BLOCK(out, block);
246
247      in += BLOCKSIZE;
248      out += BLOCKSIZE;
249      remaining -= BLOCKSIZE;
250  }
251
252
253
254  delta_m = gf_mul7(delta_m);

```

```

255  delta_c = gf_mul7(delta_c);
256
257
258  if (remaining < BLOCKSIZE) {
259      delta_m = gf_mul7(delta_m);
260      delta_c = gf_mul7(delta_c);
261  }
262
263  block = LOAD_BLOCK(in);
264  block = veorq_u8(block, delta_c);
265  AES_DECRYPT(block, decryption_keys);
266
267  /* (X,W') = rho^-1(block, W) */
268  RHO_INVERSE_INPLACE(block, w, w_tmp);
269
270  AES_DECRYPT(block, decryption_keys);
271  block = veorq_u8(block, delta_m);
272  /* block now contains M[l] = M[l+1] */
273
274  checksum = veorq_u8(checksum, block);
275  /* checksum now contains M*[l] */
276  in += BLOCKSIZE;
277
278  /* output last (maybe partial) plaintext block */
279
280  // I had to store the block instead of the checksum.
281  STORE_BLOCK(buf, checksum);
282  //STORE_BLOCK(buf, block);
283  memcpy(out, buf, remaining);
284
285  /* work on M[l+1] */
286  delta_m = gf_mul2(delta_m);
287  delta_c = gf_mul2(delta_c);
288
289  block = veorq_u8(delta_m, block);
290  AES_ENCRYPT(block, encryption_keys);
291
292  /* (Y,W') = rho(block, W) */
293  RHO_INPLACE(block, w, w_tmp);
294
295  AES_ENCRYPT(block, encryption_keys);
296  block = veorq_u8(block, delta_c);
297  /* block now contains C'[l+1] */
298
299  STORE_BLOCK(buf, block);
300  if (memcmp(in, buf, remaining) != 0) {
301      return -2;
302  }
303
304  if (remaining < BLOCKSIZE) {
305      STORE_BLOCK(buf, checksum);
306      if (buf[remaining] != 0x80) {
307          return -3;
308      }

```



```

309     for (i = remaining+1; i < BLOCKSIZE; i++) {
310         if (buf[i] != 0) {
311             return -4;
312         }
313     }
314 }
315
316 return 0;
317 }
318
319
320
321
322
323 /* ----- COLM 127 ----- */
324
325 int8_t colm127_encrypt(uint8_t* message, uint64_t message_len, uint8_t*
    ↪ associated_data, uint64_t data_len, uint64_t npub, uint8x16_t key,
    ↪ uint64_t* c_len, uint8_t* ciphertext, uint64_t* tag_len, uint8_t* tags
    ↪ )
326 {
327
328     uint8x16_t checksum = {0,0,0,0,0,0,0,0,0,0,0,0,0,0,0,0};
329     uint8x16_t w, w_tmp;
330     uint8x16_t block;
331     uint8x16_t aes_round_keys[11];
332     uint8x16_t delta_m, delta_c;
333     uint8x16_t L = {0,0,0,0,0,0,0,0,0,0,0,0,0,0,0,0};
334
335     const uint8_t* in = message;
336     uint8_t* out = ciphertext;
337     uint8_t* tag_out = tags;
338     uint64_t remaining = message_len;
339     uint8_t buf[BLOCKSIZE] = { 0 };
340     uint64_t iteration_counter = 1;
341
342     *c_len = message_len + BLOCKSIZE;
343
344     AES_SET_ENCRYPTION_KEYS(key, aes_round_keys);
345
346     AES_ENCRYPT(L, aes_round_keys);
347     delta_m = L;
348     delta_c = gf_mul3(gf_mul3(L));
349
350     w = mac(vreinterpretq_u8_u64(vcombine_u64(vcreate_u64(npub), ((uint64x1_t){0
    ↪ x007F800000000000}))), associated_data, data_len, L, aes_round_keys);
351
352     while(remaining > BLOCKSIZE)
353     {
354         delta_m = gf_mul2(delta_m);
355         delta_c = gf_mul2(delta_c);
356
357         block = LOAD_BLOCK(in);
358

```

```

359     checksum = veorq_u8(checksum, block);
360
361     block = veorq_u8(block, delta_m);
362
363     AES_ENCRYPT(block, aes_round_keys);
364
365     RHO_INPLACE(block, w, w_tmp);
366
367     // calculate Tag
368     if (iteration_counter % 127 == 0)
369     {
370         delta_c = gf_mul2(delta_c);
371         uint8x16_t tag = w;
372         AES_ENCRYPT(tag, aes_round_keys);
373         tag = veorq_u8(tag, delta_c);
374         STORE_BLOCK(tag_out, tag);
375         tag_out += BLOCKSIZE;
376         *tag_len += BLOCKSIZE;
377     }
378
379     AES_ENCRYPT(block, aes_round_keys);
380
381     block = veorq_u8(block, delta_c);
382
383     STORE_BLOCK(out, block);
384
385     in += BLOCKSIZE;
386     out += BLOCKSIZE;
387     remaining -= BLOCKSIZE;
388     iteration_counter++;
389 }
390
391
392 // handyle remaining bytes
393 memcpy(buf, in, remaining);
394
395 delta_m = gf_mul7(delta_m);
396 delta_c = gf_mul7(delta_c);
397
398 // pad if nessesary
399 if (remaining < BLOCKSIZE) {
400     buf[remaining] = 0x80;
401     delta_m = gf_mul7(delta_m);
402     delta_c = gf_mul7(delta_c);
403 }
404
405 block = LOAD_BLOCK(buf); //vld1q_u8(buf);
406
407 block = checksum = veorq_u8(checksum, block);
408
409 block = veorq_u8(block, delta_m);
410
411 AES_ENCRYPT(block, aes_round_keys);
412

```

```

413 RHO_INPLACE(block, w, w_tmp);
414
415 AES_ENCRYPT(block, aes_round_keys);
416
417 block = veorq_u8(block, delta_c);
418
419 STORE_BLOCK(out, block);
420
421 out += BLOCKSIZE;
422
423 // calculate Tag
424 if (iteration_counter % 127 == 0)
425 {
426     delta_c = gf_mul2(delta_c);
427     uint8x16_t tag = w;
428     AES_ENCRYPT(w, aes_round_keys);
429     tag = veorq_u8(tag, delta_c);
430     STORE_BLOCK(tag_out, tag);
431     tag_out += BLOCKSIZE;
432     *tag_len += BLOCKSIZE;
433 }
434
435 // if remaining == 0
436 if (remaining == 0) return 0;
437
438
439
440 // add checksum
441 delta_m = gf_mul2(delta_m);
442 delta_c = gf_mul2(delta_c);
443
444 block = veorq_u8(delta_m, checksum);
445 AES_ENCRYPT(block, aes_round_keys);
446
447 RHO_INPLACE(block, w, w_tmp);
448
449 AES_ENCRYPT(block, aes_round_keys);
450 block = veorq_u8(block, delta_c);
451
452 STORE_BLOCK((uint8_t*)buf, block);
453 memcpy(out, buf, remaining);
454
455 return 0;
456 }
457
458 int8_t colm127_decrypt(uint8_t* ciphertext, uint64_t len, uint8_t*
    ↪ associated_data, uint64_t data_len, uint64_t npub, uint8x16_t key,
    ↪ uint64_t tag_len, uint8_t* tags, uint64_t* m_len, uint8_t* message)
459 {
460
461     uint8x16_t checksum = {0,0,0,0,0,0,0,0,0,0,0,0,0,0,0,0};
462     uint8x16_t w, w_tmp;
463     uint8x16_t block;
464     uint8x16_t encryption_keys[11];

```

```

465 uint8x16_t decryption_keys[11];
466 uint8x16_t delta_m, delta_c;
467 uint8x16_t L = {0,0,0,0,0,0,0,0,0,0,0,0,0,0,0,0};
468
469 const uint8_t* in = ciphertext;
470 uint8_t* out = message;
471 uint8_t* tag_in = tags;
472 uint64_t remaining = *m_len = len - BLOCKSIZE;
473 uint32_t i;
474 uint8_t buf[BLOCKSIZE] = { 0 };
475 uint64_t iteration_counter = 1;
476 uint8_t itag;
477
478 // TODO add a check for tag length
479
480 if (len < BLOCKSIZE)
481 {
482     // -1 => invalid size of ciphertext
483     return -1;
484 }
485
486 AES_SET_ENCRYPTION_KEYS(key, encryption_keys);
487 AES_SET_DECRYPTION_KEYS(encryption_keys, decryption_keys);
488
489 AES_ENCRYPT(L, encryption_keys);
490 delta_m = L;
491 delta_c = gf_mul3(gf_mul3(L));
492
493 w = mac(vreinterpretq_u8_u64(vcombine_u64(vcreate_u64(npub), ((uint64x1_t){0
    ↪ x007F800000000000})))), associated_data, data_len, L, encryption_keys);
494
495 while (remaining > BLOCKSIZE) {
496     itag = iteration_counter % 127;
497     delta_c = gf_mul2(delta_c);
498     delta_m = gf_mul2(delta_m);
499
500     block = LOAD_BLOCK(in);
501
502     if (itag == 0)
503     {
504         delta_c = gf_mul2(delta_c);
505     }
506
507     block = veorq_u8(block, delta_c);
508
509     AES_DECRYPT(block, decryption_keys);
510
511     RHO_INVERSE_INPLACE(block, w, w_tmp);
512
513     // verify tag
514     if (itag == 0)
515     {
516
517         uint8x16_t tag = LOAD_BLOCK(tag_in);

```

```

518     tag = veorq_u8(tag, delta_c);
519     AES_DECRYPT(tag, decryption_keys);
520     if (!EQUALS(tag, w))
521     {
522         return -5;
523     }
524     tag_in += BLOCKSIZE;
525 }
526
527 AES_DECRYPT(block, decryption_keys);
528
529 block = veorq_u8(block, delta_m);
530
531 checksum = veorq_u8(checksum, block);
532
533 STORE_BLOCK(out, block);
534
535 in += BLOCKSIZE;
536 out += BLOCKSIZE;
537 remaining -= BLOCKSIZE;
538 iteration_counter++;
539 }
540
541 delta_m = gf_mul7(delta_m);
542 delta_c = gf_mul7(delta_c);
543
544
545 if (remaining < BLOCKSIZE) {
546     delta_m = gf_mul7(delta_m);
547     delta_c = gf_mul7(delta_c);
548 }
549
550 block = LOAD_BLOCK(in);
551 block = veorq_u8(block, delta_c);
552 AES_DECRYPT(block, decryption_keys);
553
554 /* (X,W') = rho^-1(block, W) */
555 RHO_INVERSE_INPLACE(block, w, w_tmp);
556
557 AES_DECRYPT(block, decryption_keys);
558 block = veorq_u8(block, delta_m);
559 /* block now contains M[l] = M[l+1] */
560
561 checksum = veorq_u8(checksum, block);
562 /* checksum now contains M*[l] */
563 in += BLOCKSIZE;
564
565 /* output last (maybe partial) plaintext block */
566
567
568 // I had to store the block instead of the checksum.
569 STORE_BLOCK(buf, checksum);
570 //STORE_BLOCK(buf, block);
571 memcpy(out, buf, remaining);

```

```

572
573 if (iteration_counter % 127 == 0)
574 {
575     delta_c = gf_mul2(delta_c);
576     uint8x16_t tag = LOAD_BLOCK(tag_in);
577     tag = veorq_u8(tag, delta_c);
578     AES_DECRYPT(tag, decryption_keys);
579     if (!EQUALS(tag, w))
580     {
581         return -5;
582     }
583     tag_in += BLOCKSIZE;
584 }
585
586 /* work on M[l+1] */
587 delta_m = gf_mul2(delta_m);
588 delta_c = gf_mul2(delta_c);
589
590 block = veorq_u8(delta_m, block);
591 AES_ENCRYPT(block, encryption_keys);
592
593 /* (Y,W') = rho(block, W) */
594 RHO_INPLACE(block, w, w_tmp);
595
596 AES_ENCRYPT(block, encryption_keys);
597 block = veorq_u8(block, delta_c);
598 /* block now contains C'[l+1] */
599
600 STORE_BLOCK(buf, block);
601 if (memcmp(in, buf, remaining) != 0) {
602     return -2;
603 }
604
605 if (remaining < BLOCKSIZE) {
606     STORE_BLOCK(buf, checksum);
607     if (buf[remaining] != 0x80) {
608         return -3;
609     }
610     for (i = remaining+1; i < BLOCKSIZE; i++) {
611         if (buf[i] != 0) {
612             return -4;
613         }
614     }
615 }
616
617 return 0;
618 }

```

Programmcode 12 colm_parallel.c

```

1 #include "colm.h"
2
3
4 #define EQUALS(a, b) (vaddlvq_u8(veorq_u8(a, b)) == 0)
5
6 #define RHO_INPLACE(x, st, w_new) do { \
7     w_new = veorq_u8(gf_mul2(st), x); \
8     x = veorq_u8(w_new, st); \
9     st = w_new; \
10 } while(0)
11
12 #define RHO_INVERSE_INPLACE(y, st, w_new) do { \
13     w_new = gf_mul2(st); \
14     st = veorq_u8(st, y); \
15     y = veorq_u8(w_new, st); \
16 } while(0)
17
18
19 #define LOAD_BLOCK(ptr) vrev64q_u8(vld1q_u8(ptr)) // load and change
20     ↪ endianness
21
22 #define STORE_BLOCK(ptr, block) vst1q_u8(ptr, vrev64q_u8(block))
23
24 #define SET_ENCRPTION_KEYS(key, round_keys) AES_SET_ENCRYPTION_KEYS(key,
25     ↪ round_keys);
26
27 #define SET_DECRPTION_KEYS(encryption_round_keys, decryption_round_keys)
28     ↪ AES_SET_DECRYPTION_KEYS(encryption_round_keys, decryption_round_keys)
29
30
31 uint8x16_t gf_mul2(uint8x16_t x)
32 {
33     uint8x16_t temp = vreinterpretq_u8_s8(vshrq_n_s8(vreinterpretq_s8_u8(x), 7))
34     ↪ ;
35
36     uint8x16_t x64 = vshlq_n_u8(x, 1); // multiply by two
37
38     x64 = vorrq_u8(x64, vandq_u8(vextq_u8(temp, zero_vector, 1), ((uint8x16_t)
39     ↪ {1,1,1,1,1,1,1,1,1,1,1,1,1,1,0}))); // handle overflow bit from
40     ↪ lower bytes to higher bytes
41
42     return veorq_u8(x64, vandq_u8(vdupq_laneq_u8(temp, 0), (uint8x16_t){0, 0, 0,
43     ↪ 0, 0, 0, 0, 0, 0, 0, 0, 0, 0, 0, 0x87})));
44 }
45
46
47 uint8x16_t gf_mul3(uint8x16_t x)
48 {
49     return veorq_u8(gf_mul2(x), x);
50 }
51
52
53 uint8x16_t gf_mul7(uint8x16_t x)
54 {
55     uint8x16_t tmp = gf_mul2(x);
56     return veorq_u8(veorq_u8(gf_mul2(tmp), tmp), x);
57 }

```

```

46
47 uint8x16_t mac(uint8x16_t npub_param, uint8_t* associated_data, const
    ↪ uint64_t data_len, uint8x16_t L, uint8x16_t* aes_round_keys)
48 {
49     uint8_t* in = associated_data;
50     uint64_t len = data_len;
51     uint8_t buf[BLOCKSIZE] = { 0 };
52     uint8x16_t block, v, delta;
53     uint8x16_t block1, block2, block3;
54     uint8x16_t delta1, delta2, delta3;
55     uint8x16_t tmp;
56
57     delta = delta3= gf_mul3(L);
58
59     v = veorq_u8(vrev64q_u8(npub_param), delta);
60     AES_ENCRYPT(v, aes_round_keys);
61
62     while (len >= 3 * BLOCKSIZE)
63     {
64         delta1 = gf_mul2(delta3);
65         delta2 = gf_mul2(delta1);
66         delta3 = gf_mul2(delta2);
67
68         block1 = LOAD_BLOCK(in);
69         block2 = LOAD_BLOCK(in + BLOCKSIZE);
70         block3 = LOAD_BLOCK(in + (2 * BLOCKSIZE));
71
72         block1 = veorq_u8(block1, delta1);
73         block2 = veorq_u8(block2, delta2);
74         block3 = veorq_u8(block3, delta3);
75
76         AES_ENCRYPT3(block1, block2, block3, aes_round_keys);
77
78         v = veorq_u8(v, block1);
79         v = veorq_u8(v, block2);
80         v = veorq_u8(v, block3);
81
82         in += 3 * BLOCKSIZE;
83         len -= 3 * BLOCKSIZE;
84     }
85
86     delta = delta3;
87
88     while (len >= BLOCKSIZE)
89     {
90         delta = gf_mul2(delta);
91         block = LOAD_BLOCK(in);
92         block = tmp = veorq_u8(block, delta);
93         AES_ENCRYPT(tmp, aes_round_keys);
94         v = veorq_u8(tmp, block);
95         in += BLOCKSIZE;
96         len -= BLOCKSIZE;
97     }
98

```



```

99
100
101 if (len > 0) { /* last block partial */
102     delta = gf_mul7(delta);
103     memcpy(buf, in, len);
104     buf[len] ^= 0x80; /* padding */
105     block = LOAD_BLOCK(buf);
106     block = tmp = veorq_u8(delta, block);
107     AES_ENCRYPT(tmp, aes_round_keys);
108     v = veorq_u8(tmp, block);
109 }
110
111 return v;
112 }
113
114
115
116 /* ----- COLM 0 ----- */
117
118 uint8_t colm0_encrypt(uint8_t* message, uint64_t message_len, uint8_t*
    ↪ associated_data, uint64_t data_len, uint64_t npub, uint8x16_t key,
    ↪ uint64_t* c_len, uint8_t* ciphertext)
119 {
120     uint8x16_t checksum = {0,0,0,0,0,0,0,0,0,0,0,0,0,0,0,0};
121     uint8x16_t w, w_tmp;
122     uint8x16_t block1, block2, block3, block;
123     uint8x16_t aes_round_keys[11];
124     uint8x16_t delta_m1, delta_m2, delta_m3, delta_m;
125     uint8x16_t delta_c1, delta_c2, delta_c3, delta_c;
126     uint8x16_t L = {0,0,0,0,0,0,0,0,0,0,0,0,0,0,0,0};
127
128     const uint8_t* in = message;
129     uint8_t* out = ciphertext;
130     uint64_t remaining = message_len;
131     uint8_t buf[BLOCKSIZE] = { 0 };
132
133     *c_len = message_len + BLOCKSIZE;
134
135     SET_ENCRPTION_KEYS(key, aes_round_keys);
136
137
138     AES_ENCRYPT(L, aes_round_keys);
139
140     w = mac(vreinterpretq_u8_u64(vcombine_u64(vcreate_u64(npub), ((uint64x1_t){0
    ↪ x0000800000000000}))), associated_data, data_len, L, aes_round_keys);
141
142
143     delta_m3 = L;
144     delta_c3 = gf_mul3(gf_mul3(L));
145
146     while(remaining > 3 * BLOCKSIZE)
147     {
148         delta_m1 = gf_mul2(delta_m3);
149         delta_m2 = gf_mul2(delta_m1);

```

```

150  delta_m3 = gf_mul2(delta_m2);
151
152  block1 = LOAD_BLOCK(in);
153  block2 = LOAD_BLOCK(in + BLOCKSIZE);
154  block3 = LOAD_BLOCK(in + (2 * BLOCKSIZE));
155
156  checksum = veorq_u8(checksum, block1);
157  checksum = veorq_u8(checksum, block2);
158  checksum = veorq_u8(checksum, block3);
159
160  block1 = veorq_u8(block1, delta_m1);
161  block2 = veorq_u8(block2, delta_m2);
162  block3 = veorq_u8(block3, delta_m3);
163
164  AES_ENCRYPT3(block1, block2, block3, aes_round_keys);
165
166  delta_c1 = gf_mul2(delta_c3);
167  delta_c2 = gf_mul2(delta_c1);
168  delta_c3 = gf_mul2(delta_c2);
169
170  RHO_INPLACE(block1, w, w_tmp);
171  RHO_INPLACE(block2, w, w_tmp);
172  RHO_INPLACE(block3, w, w_tmp);
173
174  AES_ENCRYPT3(block1, block2, block3, aes_round_keys);
175
176  block1 = veorq_u8(block1, delta_c1);
177  block2 = veorq_u8(block2, delta_c2);
178  block3 = veorq_u8(block3, delta_c3);
179
180  STORE_BLOCK(out, block1);
181  STORE_BLOCK(out + BLOCKSIZE, block2);
182  STORE_BLOCK(out + (2 * BLOCKSIZE), block3);
183
184  in += 3 * BLOCKSIZE;
185  out += 3 * BLOCKSIZE;
186  remaining -= 3 * BLOCKSIZE;
187 }
188
189 delta_m = delta_m3;
190 delta_c = delta_c3;
191
192 while (remaining > BLOCKSIZE)
193 {
194     delta_m = gf_mul2(delta_m);
195     delta_c = gf_mul2(delta_c);
196
197     block = LOAD_BLOCK(in);
198     checksum = veorq_u8(checksum, block);
199
200     block = veorq_u8(block, delta_m);
201
202     AES_ENCRYPT(block, aes_round_keys);
203

```

```
204 RHO_INPLACE(block, w, w_tmp);
205
206 AES_ENCRYPT(block, aes_round_keys);
207
208 block = veorq_u8(block, delta_c);
209
210 STORE_BLOCK(out, block);
211
212 in += BLOCKSIZE;
213 out += BLOCKSIZE;
214 remaining -= BLOCKSIZE;
215 }
216
217
218
219
220 // handyle remaining bytes
221 memcpy(buf, in, remaining);
222
223 delta_m = gf_mul7(delta_m);
224 delta_c = gf_mul7(delta_c);
225
226 // pad if nessesary
227 if (remaining < BLOCKSIZE) {
228     buf[remaining] = 0x80;
229     delta_m = gf_mul7(delta_m);
230     delta_c = gf_mul7(delta_c);
231 }
232
233 block = LOAD_BLOCK(buf);
234
235 block = checksum = veorq_u8(checksum, block);
236
237 block = veorq_u8(block, delta_m);
238
239 AES_ENCRYPT(block, aes_round_keys);
240
241 RHO_INPLACE(block, w, w_tmp);
242
243 AES_ENCRYPT(block, aes_round_keys);
244
245 block = veorq_u8(block, delta_c);
246
247 STORE_BLOCK(out, block);
248
249 out += BLOCKSIZE;
250
251 // if remaining == 0
252 if (remaining == 0) return 0;
253
254 // add checksum
255 delta_m = gf_mul2(delta_m);
256 delta_c = gf_mul2(delta_c);
257
```

```

258 block = veorq_u8(delta_m, checksum);
259 AES_ENCRYPT(block, aes_round_keys);
260
261 RHO_INPLACE(block, w, w_tmp);
262
263 AES_ENCRYPT(block, aes_round_keys);
264 block = veorq_u8(block, delta_c);
265
266 STORE_BLOCK((uint8_t*)buf, block);
267 memcpy(out, buf, remaining);
268
269 return 0;
270 }
271
272 int8_t colm0_decrypt(uint8_t* ciphertext, uint64_t len, uint8_t*
    ↪ associated_data, uint64_t data_len, uint64_t npub, uint8x16_t key,
    ↪ uint64_t* m_len, uint8_t* message)
273 {
274     uint8x16_t checksum = {0,0,0,0,0,0,0,0,0,0,0,0,0,0,0,0};
275     uint8x16_t w, w_tmp;
276     uint8x16_t block1, block2, block3, block;
277     uint8x16_t aes_encryption_keys[11];
278     uint8x16_t aes_decryption_keys[11];
279     uint8x16_t delta_m1, delta_m2, delta_m3, delta_m;
280     uint8x16_t delta_c1, delta_c2, delta_c3, delta_c;
281     uint8x16_t L = {0,0,0,0,0,0,0,0,0,0,0,0,0,0,0,0};
282
283     const uint8_t* in = ciphertext;
284     uint8_t* out = message;
285     uint64_t remaining = *m_len = len - BLOCKSIZE;
286     uint32_t i;
287     uint8_t buf[BLOCKSIZE] = { 0 };
288
289     if (len < BLOCKSIZE)
290     {
291         // -1 => invalid size of ciphertext
292         return -1;
293     }
294
295     SET_ENCRPTION_KEYS(key, aes_encryption_keys);
296     SET_DECRPTION_KEYS(aes_encryption_keys, aes_decryption_keys);
297
298     AES_ENCRYPT(L, aes_encryption_keys);
299     delta_m3 = L;
300     delta_c3 = gf_mul3(gf_mul3(L));
301
302     w = mac(vreinterpretq_u8_u64(vcombine_u64(vcreate_u64(npub), ((uint64x1_t){0
    ↪ x0000800000000000}))))), associated_data, data_len, L,
    ↪ aes_encryption_keys);
303
304
305     while (remaining > 3 * BLOCKSIZE) {
306         delta_c1 = gf_mul2(delta_c3);
307         delta_c2 = gf_mul2(delta_c1);

```

```

308  delta_c3 = gf_mul2(delta_c2);
309
310  block1 = LOAD_BLOCK(in);
311  block2 = LOAD_BLOCK(in + BLOCKSIZE);
312  block3 = LOAD_BLOCK(in + (2 * BLOCKSIZE));
313
314  block1 = veorq_u8(block1, delta_c1);
315  block2 = veorq_u8(block2, delta_c2);
316  block3 = veorq_u8(block3, delta_c3);
317
318  AES_DECRYPT3(block1, block2, block3, aes_decryption_keys);
319
320  delta_m1 = gf_mul2(delta_m3);
321  delta_m2 = gf_mul2(delta_m1);
322  delta_m3 = gf_mul2(delta_m2);
323
324  RHO_INVERSE_INPLACE(block1, w, w_tmp);
325  RHO_INVERSE_INPLACE(block2, w, w_tmp);
326  RHO_INVERSE_INPLACE(block3, w, w_tmp);
327
328
329  AES_DECRYPT3(block1, block2, block3, aes_decryption_keys);
330
331  block1 = veorq_u8(block1, delta_m1);
332  block2 = veorq_u8(block2, delta_m2);
333  block3 = veorq_u8(block3, delta_m3);
334
335  checksum = veorq_u8(checksum, block1);
336  checksum = veorq_u8(checksum, block2);
337  checksum = veorq_u8(checksum, block3);
338
339  STORE_BLOCK(out, block1);
340  STORE_BLOCK(out + BLOCKSIZE, block2);
341  STORE_BLOCK(out + (2 * BLOCKSIZE), block3);
342
343  in += 3 * BLOCKSIZE;
344  out += 3 * BLOCKSIZE;
345  remaining -= 3 * BLOCKSIZE;
346 }
347
348 delta_m = delta_m3;
349 delta_c = delta_c3;
350
351 while (remaining > BLOCKSIZE) {
352     delta_m = gf_mul2(delta_m);
353     delta_c = gf_mul2(delta_c);
354
355     block = LOAD_BLOCK(in);
356     block = veorq_u8(block, delta_c);
357
358     AES_DECRYPT(block, aes_decryption_keys);
359
360     /* (X,W') = rho^-1(block, W) */
361     RHO_INVERSE_INPLACE(block, w, w_tmp);

```

```

362
363     AES_DECRYPT(block, aes_decryption_keys);
364     block = veorq_u8(block, delta_m);
365
366     checksum = veorq_u8(checksum, block);
367
368     STORE_BLOCK(out, block);
369
370     in += BLOCKSIZE;
371     out += BLOCKSIZE;
372     remaining -= BLOCKSIZE;
373 }
374
375
376     delta_m = gf_mul7(delta_m);
377     delta_c = gf_mul7(delta_c);
378
379
380     if (remaining < BLOCKSIZE) {
381         delta_m = gf_mul7(delta_m);
382         delta_c = gf_mul7(delta_c);
383     }
384
385     block = LOAD_BLOCK(in);
386     block = veorq_u8(block, delta_c);
387     AES_DECRYPT(block, aes_decryption_keys);
388
389     /* (X,W') = rho^-1(block, W) */
390     RHO_INVERSE_INPLACE(block, w, w_tmp);
391
392     AES_DECRYPT(block, aes_decryption_keys);
393     block = veorq_u8(block, delta_m);
394     /* block now contains M[l] = M[l+1] */
395
396     checksum = veorq_u8(checksum, block);
397     /* checksum now contains M*[l] */
398     in += BLOCKSIZE;
399
400     /* output last (maybe partial) plaintext block */
401
402     // I had to store the block instead of the checksum.
403     STORE_BLOCK(buf, checksum);
404     //STORE_BLOCK(buf, block);
405     memcpy(out, buf, remaining);
406
407     /* work on M[l+1] */
408     delta_m = gf_mul2(delta_m);
409     delta_c = gf_mul2(delta_c);
410
411     block = veorq_u8(delta_m, block);
412     AES_ENCRYPT(block, aes_encryption_keys);
413
414     /* (Y,W') = rho(block, W) */
415     RHO_INPLACE(block, w, w_tmp);

```

```

416
417 AES_ENCRYPT(block, aes_encryption_keys);
418 block = veorq_u8(block, delta_c);
419 /* block now contains C'[l+1] */
420
421 STORE_BLOCK(buf, block);
422 if (memcmp(in, buf, remaining) != 0) {
423     return -2;
424 }
425
426 if (remaining < BLOCKSIZE) {
427     STORE_BLOCK(buf, checksum);
428     if (buf[remaining] != 0x80) {
429         return -3;
430     }
431     for (i = remaining+1; i < BLOCKSIZE; i++) {
432         if (buf[i] != 0) {
433             return -4;
434         }
435     }
436 }
437
438 return 0;
439 }
440
441
442
443
444
445 /* ----- COLM 127 ----- */
446
447 int8_t colm127_encrypt(uint8_t* message, uint64_t message_len, uint8_t*
    ↪ associated_data, uint64_t data_len, uint64_t npub, uint8x16_t key,
    ↪ uint64_t* c_len, uint8_t* ciphertext, uint64_t* tag_len, uint8_t* tags
    ↪ )
448 {
449     uint8x16_t checksum = {0,0,0,0,0,0,0,0,0,0,0,0,0,0,0,0};
450     uint8x16_t w, w_tmp;
451     uint8x16_t block1, block2, block3, block;
452     uint8x16_t aes_round_keys[11];
453     uint8x16_t delta_m1, delta_m2, delta_m3, delta_m;
454     uint8x16_t delta_c1, delta_c2, delta_c3, delta_c;
455     uint8x16_t L = {0,0,0,0,0,0,0,0,0,0,0,0,0,0,0,0};
456     uint8x16_t w_tag;
457
458     const uint8_t* in = message;
459     uint8_t* out = ciphertext;
460     uint8_t* tag_out = tags;
461     uint64_t remaining = message_len;
462     uint8_t buf[BLOCKSIZE] = { 0 };
463     uint64_t iteration_counter = 3;
464     uint8_t itag = 0;
465
466     *c_len = message_len + BLOCKSIZE;

```

```

467 SET_ENCRPTION_KEYS(key, aes_round_keys);
468
469
470 AES_ENCRYPT(L, aes_round_keys);
471 delta_m3 = L;
472 delta_c3 = gf_mul3(gf_mul3(L));
473
474
475 w = mac(vreinterpretq_u8_u64(vcombine_u64(vcreate_u64(npub), ((uint64x1_t){0
    ↪ x007F800000000000}))), associated_data, data_len, L, aes_round_keys);
476
477 while(remaining > 3 * BLOCKSIZE)
478 {
479     itag = iteration_counter % 127;
480
481     delta_c1 = gf_mul2(delta_c3);
482     delta_c2 = gf_mul2(delta_c1);
483     delta_c3 = gf_mul2(delta_c2);
484
485     delta_m1 = gf_mul2(delta_m3);
486     delta_m2 = gf_mul2(delta_m1);
487     delta_m3 = gf_mul2(delta_m2);
488
489     block1 = LOAD_BLOCK(in);
490     block2 = LOAD_BLOCK(in + BLOCKSIZE);
491     block3 = LOAD_BLOCK(in + (2 * BLOCKSIZE));
492
493     checksum = veorq_u8(checksum, block1);
494     checksum = veorq_u8(checksum, block2);
495     checksum = veorq_u8(checksum, block3);
496
497     block1 = veorq_u8(block1, delta_m1);
498     block2 = veorq_u8(block2, delta_m2);
499     block3 = veorq_u8(block3, delta_m3);
500
501     AES_ENCRYPT3(block1, block2, block3, aes_round_keys);
502
503     RHO_INPLACE(block1, w, w_tmp); if (itag == 2) w_tag = w;
504     RHO_INPLACE(block2, w, w_tmp); if (itag == 1) w_tag = w;
505     RHO_INPLACE(block3, w, w_tmp); if (itag == 0) w_tag = w;
506
507     // calculate Tag
508     switch (itag)
509     {
510     case 2: // tag "after" block1
511         delta_c1 = delta_c2;
512         delta_c = delta_c2;
513         delta_c2 = delta_c3;
514         delta_c3 = gf_mul2(delta_c3);
515         break;
516     case 1: // tag "after" block2
517         delta_c2 = delta_c3;
518         delta_c = delta_c3;
519         delta_c3 = gf_mul2(delta_c3);

```



```

520     break;
521 case 0: // tag "after" block3
522     delta_c3 = gf_mul2(delta_c3);
523     delta_c = delta_c3;
524     break;
525 default:
526     break;
527 }
528
529 if (itag <= 2)
530 {
531     uint8x16_t tag = w_tag;
532     AES_ENCRYPT(tag, aes_round_keys);
533     tag = veorq_u8(tag, delta_c);
534     STORE_BLOCK(tag_out, tag);
535     tag_out += BLOCKSIZE;
536     *tag_len += BLOCKSIZE;
537 }
538
539 AES_ENCRYPT3(block1, block2, block3, aes_round_keys);
540
541 block1 = veorq_u8(block1, delta_c1);
542 block2 = veorq_u8(block2, delta_c2);
543 block3 = veorq_u8(block3, delta_c3);
544
545 STORE_BLOCK(out, block1);
546 STORE_BLOCK(out + BLOCKSIZE, block2);
547 STORE_BLOCK(out + (2 * BLOCKSIZE), block3);
548
549 in += 3 * BLOCKSIZE;
550 out += 3 * BLOCKSIZE;
551 remaining -= 3 * BLOCKSIZE;
552 iteration_counter += 3;
553 }
554
555 delta_m = delta_m3;
556 delta_c = delta_c3;
557
558 while(remaining > BLOCKSIZE)
559 {
560     delta_m = gf_mul2(delta_m);
561
562     block = LOAD_BLOCK(in);
563
564     checksum = veorq_u8(checksum, block);
565
566     block = veorq_u8(block, delta_m);
567
568     AES_ENCRYPT(block, aes_round_keys);
569
570     delta_c = gf_mul2(delta_c);
571
572     RHO_INPLACE(block, w, w_tmp);
573

```

```

574 // calculate Tag
575 if (iteration_counter % 127 == 0)
576 {
577     delta_c = gf_mul2(delta_c);
578     uint8x16_t tag = w;
579     AES_ENCRYPT(tag, aes_round_keys);
580     tag = veorq_u8(tag, delta_c);
581     STORE_BLOCK(tag_out, tag);
582     tag_out += BLOCKSIZE;
583     *tag_len += BLOCKSIZE;
584 }
585
586 AES_ENCRYPT(block, aes_round_keys);
587
588 block = veorq_u8(block, delta_c);
589
590 STORE_BLOCK(out, block);
591
592 in += BLOCKSIZE;
593 out += BLOCKSIZE;
594 remaining -= BLOCKSIZE;
595 iteration_counter++;
596 }
597
598 // handyle remaining bytes
599 memcpy(buf, in, remaining);
600
601 delta_m = gf_mul7(delta_m);
602 delta_c = gf_mul7(delta_c);
603
604 // pad if nessesary
605 if (remaining < BLOCKSIZE) {
606     buf[remaining] = 0x80;
607     delta_m = gf_mul7(delta_m);
608     delta_c = gf_mul7(delta_c);
609 }
610
611 block = LOAD_BLOCK(buf); //vld1q_u8(buf);
612
613 block = checksum = veorq_u8(checksum, block);
614
615 block = veorq_u8(block, delta_m);
616
617 AES_ENCRYPT(block, aes_round_keys);
618
619 RHO_INPLACE(block, w, w_tmp);
620
621 AES_ENCRYPT(block, aes_round_keys);
622
623 block = veorq_u8(block, delta_c);
624
625 STORE_BLOCK(out, block);
626
627 out += BLOCKSIZE;

```

```

628
629 // calculate Tag
630 if (iteration_counter % 127 == 0)
631 {
632     delta_c = gf_mul2(delta_c);
633     uint8x16_t tag = w;
634     AES_ENCRYPT(tag, aes_round_keys);
635     tag = veorq_u8(tag, delta_c);
636     STORE_BLOCK(tag_out, tag);
637     tag_out += BLOCKSIZE;
638     *tag_len += BLOCKSIZE;
639 }
640
641 // if remaining == 0
642 if (remaining == 0) return 0;
643
644 // add checksum
645 delta_m = gf_mul2(delta_m);
646 delta_c = gf_mul2(delta_c);
647
648 block = veorq_u8(delta_m, checksum);
649 AES_ENCRYPT(block, aes_round_keys);
650
651 RHO_INPLACE(block, w, w_tmp);
652
653 AES_ENCRYPT(block, aes_round_keys);
654 block = veorq_u8(block, delta_c);
655
656 STORE_BLOCK((uint8_t*)buf, block);
657 memcpy(out, buf, remaining);
658
659 return 0;
660 }
661
662 int8_t colm127_decrypt(uint8_t* ciphertext, uint64_t len, uint8_t*
    ↪ associated_data, uint64_t data_len, uint64_t npub, uint8x16_t key,
    ↪ uint64_t tag_len, uint8_t* tags, uint64_t* m_len, uint8_t* message)
663 {
664
665     uint8x16_t checksum = {0,0,0,0,0,0,0,0,0,0,0,0,0,0,0,0};
666     uint8x16_t w, w_tmp;
667     uint8x16_t block1, block2, block3, block;
668     uint8x16_t aes_encryption_keys[11];
669     uint8x16_t aes_decryption_keys[11];
670     uint8x16_t delta_m1, delta_m2, delta_m3, delta_m;
671     uint8x16_t delta_c1, delta_c2, delta_c3, delta_c;
672     uint8x16_t L = {0,0,0,0,0,0,0,0,0,0,0,0,0,0,0,0};
673     uint8x16_t w_tag;
674
675     const uint8_t* in = ciphertext;
676     uint8_t* out = message;
677     uint8_t* tag_in = tags;
678     uint64_t remaining = *m_len = len - BLOCKSIZE;
679     uint32_t i;

```

```

680 uint8_t buf[BLOCKSIZE] = { 0 };
681 uint64_t iteration_counter = 3;
682 uint8_t itag;
683
684 if (len < BLOCKSIZE)
685 {
686     // -1 => invalid size of ciphertext
687     return -1;
688 }
689
690
691 SET_ENCRPTION_KEYS(key, aes_encryption_keys);
692 SET_DECRPTION_KEYS(aes_encryption_keys, aes_decryption_keys);
693
694 AES_ENCRYPT(L, aes_encryption_keys);
695 delta_m3 = L;
696 delta_c3 = gf_mul3(gf_mul3(L));
697
698
699 w = mac(vreinterpretq_u8_u64(vcombine_u64(vcreate_u64(npub), ((uint64x1_t){0
    ↪ x007F800000000000}))), associated_data, data_len, L,
    ↪ aes_encryption_keys);
700
701 while (remaining > 3 * BLOCKSIZE) {
702     itag = iteration_counter % 127;
703
704     delta_c1 = gf_mul2(delta_c3);
705     delta_c2 = gf_mul2(delta_c1);
706     delta_c3 = gf_mul2(delta_c2);
707
708     delta_m1 = gf_mul2(delta_m3);
709     delta_m2 = gf_mul2(delta_m1);
710     delta_m3 = gf_mul2(delta_m2);
711
712     block1 = LOAD_BLOCK(in);
713     block2 = LOAD_BLOCK(in + BLOCKSIZE);
714     block3 = LOAD_BLOCK(in + (2 * BLOCKSIZE));
715
716     switch (itag)
717     {
718     case 2: // tag "after" block1
719         delta_c1 = delta_c2;
720         delta_c = delta_c2;
721         delta_c2 = delta_c3;
722         delta_c3 = gf_mul2(delta_c3);
723         break;
724     case 1: // tag "after" block2
725         delta_c2 = delta_c3;
726         delta_c = delta_c3;
727         delta_c3 = gf_mul2(delta_c3);
728         break;
729     case 0: // tag "after" block3
730         delta_c3 = gf_mul2(delta_c3);
731         delta_c = delta_c3;

```

```

732     break;
733 default:
734     break;
735 }
736
737
738 block1 = veorq_u8(block1, delta_c1);
739 block2 = veorq_u8(block2, delta_c2);
740 block3 = veorq_u8(block3, delta_c3);
741
742 AES_DECRYPT3(block1, block2, block3, aes_decryption_keys);
743
744 RHO_INVERSE_INPLACE(block1, w, w_tmp); if (itag == 2) w_tag = w;
745 RHO_INVERSE_INPLACE(block2, w, w_tmp); if (itag == 1) w_tag = w;
746 RHO_INVERSE_INPLACE(block3, w, w_tmp); if (itag == 0) w_tag = w;
747
748 // verify tag
749 if (itag <= 2)
750 {
751     uint8x16_t tag = LOAD_BLOCK(tag_in);
752     tag = veorq_u8(tag, delta_c);
753     AES_DECRYPT(tag, aes_decryption_keys);
754     if (!EQUALS(tag, w_tag))
755     {
756         return -5;
757     }
758     tag_in += BLOCKSIZE;
759 }
760
761 AES_DECRYPT3(block1, block2, block3, aes_decryption_keys);
762
763 block1 = veorq_u8(block1, delta_m1);
764 block2 = veorq_u8(block2, delta_m2);
765 block3 = veorq_u8(block3, delta_m3);
766
767 checksum = veorq_u8(checksum, block1);
768 checksum = veorq_u8(checksum, block2);
769 checksum = veorq_u8(checksum, block3);
770
771 STORE_BLOCK(out, block1);
772 STORE_BLOCK(out + BLOCKSIZE, block2);
773 STORE_BLOCK(out + (2 * BLOCKSIZE), block3);
774
775 in += 3 * BLOCKSIZE;
776 out += 3 * BLOCKSIZE;
777 remaining -= 3 * BLOCKSIZE;
778 iteration_counter += 3;
779 }
780
781
782 delta_m = delta_m3;
783 delta_c = delta_c3;
784
785 while (remaining > BLOCKSIZE) {

```

```

786 delta_c = gf_mul2(delta_c);
787 delta_m = gf_mul2(delta_m);
788
789 // verify tag
790 block = LOAD_BLOCK(in);
791
792 block = veorq_u8(block, delta_c);
793
794 AES_DECRYPT(block, aes_decryption_keys);
795
796 if (iteration_counter % 127 == 0)
797 {
798     delta_c = gf_mul2(delta_c);
799     uint8x16_t tag = LOAD_BLOCK(tag_in);
800     tag = veorq_u8(tag, delta_c);
801     AES_DECRYPT(tag, aes_decryption_keys);
802     if (!EQUALS(tag, w))
803     {
804         return -5;
805     }
806     tag_in += BLOCKSIZE;
807 }
808
809 RHO_INVERSE_INPLACE(block, w, w_tmp);
810
811 AES_DECRYPT(block, aes_decryption_keys);
812
813 block = veorq_u8(block, delta_m);
814
815 checksum = veorq_u8(checksum, block);
816
817 STORE_BLOCK(out, block);
818
819 in += BLOCKSIZE;
820 out += BLOCKSIZE;
821 remaining -= BLOCKSIZE;
822 iteration_counter++;
823 }
824
825
826
827 delta_m = gf_mul7(delta_m);
828 delta_c = gf_mul7(delta_c);
829
830
831 if (remaining < BLOCKSIZE) {
832     delta_m = gf_mul7(delta_m);
833     delta_c = gf_mul7(delta_c);
834 }
835
836 block = LOAD_BLOCK(in);
837 block = veorq_u8(block, delta_c);
838 AES_DECRYPT(block, aes_decryption_keys);
839

```

```

840 /* (X,W') = rho^-1(block, W) */
841 RHO_INVERSE_INPLACE(block, w, w_tmp);
842
843 AES_DECRYPT(block, aes_decryption_keys);
844 block = veorq_u8(block, delta_m);
845 /* block now contains M[l] = M[l+1] */
846
847 checksum = veorq_u8(checksum, block);
848 /* checksum now contains M*[l] */
849 in += BLOCKSIZE;
850
851 /* output last (maybe partial) plaintext block */
852
853 STORE_BLOCK(buf, checksum);
854
855 memcpy(out, buf, remaining);
856
857 if (iteration_counter % 127 == 0)
858 {
859     delta_c = gf_mul2(delta_c);
860     uint8x16_t tag = LOAD_BLOCK(tag_in);
861     tag = veorq_u8(tag, delta_c);
862     AES_DECRYPT(tag, aes_decryption_keys);
863     if (!EQUALS(tag, w))
864     {
865         return -5;
866     }
867     tag_in += BLOCKSIZE;
868 }
869
870 /* work on M[l+1] */
871 delta_m = gf_mul2(delta_m);
872 delta_c = gf_mul2(delta_c);
873
874 block = veorq_u8(delta_m, block);
875 AES_ENCRYPT(block, aes_encryption_keys);
876
877 /* (Y,W') = rho(block, W) */
878 RHO_INPLACE(block, w, w_tmp);
879
880 AES_ENCRYPT(block, aes_encryption_keys);
881 block = veorq_u8(block, delta_c);
882 /* block now contains C'[l+1] */
883
884 STORE_BLOCK(buf, block);
885 if (memcmp(in, buf, remaining) != 0) {
886     return -2;
887 }
888
889 if (remaining < 16) {
890     STORE_BLOCK(buf, checksum);
891
892     if (buf[remaining] != 0x80) {
893         return -3;

```

```
894     }
895     for (i = remaining+1; i < 16; i++) {
896         if (buf[i] != 0) {
897             return -4;
898         }
899     }
900 }
901
902 return 0;
903 }
```

8.1.3 GIFT

Programmcode 13 gift.c

```

1  #include "gift.h"
2
3  #define REORDER_CONSTANT ((uint8x16_t)
    ↪ {3,2,1,0,7,6,5,4,11,10,9,8,15,14,13,12})
4  #define KEY_REORDER_CONSTANT ((uint8x16_t)
    ↪ {1,0,3,2,5,4,7,6,9,8,11,10,13,12,15,14})
5  #define ONE_VECTOR ((uint32x4_t){0x1, 0x1, 0x1, 0x1})
6
7  #define INPLACE_XOR(val, xor_val) do { \
8      val = veorq_u32(val, xor_val); \
9      } while(0)
10
11 #define UPDATE_KEY_STATE(W, T6, T7) do {\
12     T6 = (W[6]>>2) | (W[6]<<14); \
13     T7 = (W[7]>>12) | (W[7]<<4); \
14     W[7] = W[5]; \
15     W[6] = W[4]; \
16     W[5] = W[3]; \
17     W[4] = W[2]; \
18     W[3] = W[1]; \
19     W[2] = W[0]; \
20     W[1] = T7; \
21     W[0] = T6; \
22     } while (0)
23
24 /*Round constants*/
25 const unsigned char GIFT_RC[40] = {
26     0x01, 0x03, 0x07, 0x0F, 0x1F, 0x3E, 0x3D, 0x3B, 0x37, 0x2F,
27     0x1E, 0x3C, 0x39, 0x33, 0x27, 0x0E, 0x1D, 0x3A, 0x35, 0x2B,
28     0x16, 0x2C, 0x18, 0x30, 0x21, 0x02, 0x05, 0x0B, 0x17, 0x2E,
29     0x1C, 0x38, 0x31, 0x23, 0x06, 0x0D, 0x1B, 0x36, 0x2D, 0x1A
30 };
31
32
33
34 uint32x4_t rowperm_bc(uint32x4_t S, int B0_pos, int B1_pos, int B2_pos, int
    ↪ B3_pos)
35 {
36     uint32x4_t T = {0, 0, 0, 0};
37     uint8_t b;
38     for(b = 0; b < 8; b++)
39     {
40         T = vorrq_u32(T, vshlq_n_u32(vandq_u32(vshrq_n_u32(S, 4 * b + 0),
    ↪ ONE_VECTOR), b + 8 * B0_pos));
41         T = vorrq_u32(T, vshlq_n_u32(vandq_u32(vshrq_n_u32(S, 4 * b + 1),
    ↪ ONE_VECTOR), b + 8 * B1_pos));
42         T = vorrq_u32(T, vshlq_n_u32(vandq_u32(vshrq_n_u32(S, 4 * b + 2),
    ↪ ONE_VECTOR), b + 8 * B2_pos));
43         T = vorrq_u32(T, vshlq_n_u32(vandq_u32(vshrq_n_u32(S, 4 * b + 3),
    ↪ ONE_VECTOR), b + 8 * B3_pos));

```

```

44 }
45 return T;
46 }
47
48 uint8_t gift_bs_encrypt(uint8x16_t block1, uint8x16_t block2, uint8x16_t
    ↪ block3, uint8x16_t block4, uint32_t* round_keys, uint8x16_t* c1,
    ↪ uint8x16_t* c2, uint8x16_t* c3, uint8x16_t* c4)
49 {
50     uint8_t round;
51     uint32x4_t T;
52     uint16x8_t W;
53     uint16_t T6, T7;
54     uint32x4_t temp;
55     uint32x4_t w_temp_1, w_temp_2;
56     uint8_t round_key_counter = 0;
57
58     uint32x4_t s0, s1, s2, s3, tmp0, tmp1, tmp2, tmp3;
59
60     tmp0 = vreinterpretq_u32_u8(vqtbl1q_u8(block1, REORDER_CONSTANT));
61     tmp1 = vreinterpretq_u32_u8(vqtbl1q_u8(block2, REORDER_CONSTANT));
62     tmp2 = vreinterpretq_u32_u8(vqtbl1q_u8(block3, REORDER_CONSTANT));
63     tmp3 = vreinterpretq_u32_u8(vqtbl1q_u8(block4, REORDER_CONSTANT));
64
65     // Transpose matrix
66     s0 = ((uint32x4_t){tmp0[0], tmp1[0], tmp2[0], tmp3[0]});
67     s1 = ((uint32x4_t){tmp0[1], tmp1[1], tmp2[1], tmp3[1]});
68     s2 = ((uint32x4_t){tmp0[2], tmp1[2], tmp2[2], tmp3[2]});
69     s3 = ((uint32x4_t){tmp0[3], tmp1[3], tmp2[3], tmp3[3]});
70
71     for(round = 0; round < 40; round++)
72     {
73         // SubCells
74         INPLACE_XOR(s1, vandq_u32(s0, s2));
75         INPLACE_XOR(s0, vandq_u32(s1, s3));
76         INPLACE_XOR(s2, vorrq_u32(s0, s1));
77         INPLACE_XOR(s3, s2);
78         INPLACE_XOR(s1, s3);
79         s3 = vmvnq_u32(s3);
80         INPLACE_XOR(s2, vandq_u32(s0, s1));
81
82         // at this point a variable swap happens.
83         // this was combined with rowperm to do the assignment only once
84         T = s0;
85         //s0 = s3;
86         //s3 = T;
87
88         s0 = rowperm_bc(s3, 0, 3, 2, 1);
89         s1 = rowperm_bc(s1, 1, 0, 3, 2);
90         s2 = rowperm_bc(s2, 2, 1, 0, 3);
91         s3 = rowperm_bc(T, 3, 2, 1, 0);
92
93         // add roundkey
94         INPLACE_XOR(s2, vdupq_n_u32(round_keys[round_key_counter++]));
95         INPLACE_XOR(s1, vdupq_n_u32(round_keys[round_key_counter++]));

```

```

96
97 // round constant
98 INPLACE_XOR(s3, vdupq_n_u32(0x80000000 ^ GIFT_RC[round]));
99
100 }
101
102 (*c1) = vqtbl1q_u8(vreinterpretq_u8_u32(((uint32x4_t){s0[0], s1[0], s2[0],
    ↪ s3[0]})), REORDER_CONSTANT);
103 (*c2) = vqtbl1q_u8(vreinterpretq_u8_u32(((uint32x4_t){s0[1], s1[1], s2[1],
    ↪ s3[1]})), REORDER_CONSTANT);
104 (*c3) = vqtbl1q_u8(vreinterpretq_u8_u32(((uint32x4_t){s0[2], s1[2], s2[2],
    ↪ s3[2]})), REORDER_CONSTANT);
105 (*c4) = vqtbl1q_u8(vreinterpretq_u8_u32(((uint32x4_t){s0[3], s1[3], s2[3],
    ↪ s3[3]})), REORDER_CONSTANT);
106 return 0;
107 }
108
109 uint32_t rowperm(uint32_t S, int B0_pos, int B1_pos, int B2_pos, int B3_pos){
110     uint32_t T=0;
111     int b;
112     for(b=0; b<8; b++){
113         T |= ((S>>(4*b+0))&0x1)<<(b + 8*B0_pos);
114         T |= ((S>>(4*b+1))&0x1)<<(b + 8*B1_pos);
115         T |= ((S>>(4*b+2))&0x1)<<(b + 8*B2_pos);
116         T |= ((S>>(4*b+3))&0x1)<<(b + 8*B3_pos);
117     }
118     return T;
119 }
120
121 uint8x16_t gift_encrypt(uint8x16_t block, uint32_t* round_keys)
122 {
123     uint8x16_t C;
124     uint8_t round;
125     uint32x4_t S;
126     uint32_t T;
127     uint16x8_t W;
128     uint16_t T6,T7;
129     uint8_t round_key_counter = 0;
130
131     S[0] = ((uint32_t)block[ 0]<<24) | ((uint32_t)block[ 1]<<16) | ((uint32_t)
    ↪ block[ 2]<<8) | (uint32_t)block[ 3];
132     S[1] = ((uint32_t)block[ 4]<<24) | ((uint32_t)block[ 5]<<16) | ((uint32_t)
    ↪ block[ 6]<<8) | (uint32_t)block[ 7];
133     S[2] = ((uint32_t)block[ 8]<<24) | ((uint32_t)block[ 9]<<16) | ((uint32_t)
    ↪ block[10]<<8) | (uint32_t)block[11];
134     S[3] = ((uint32_t)block[12]<<24) | ((uint32_t)block[13]<<16) | ((uint32_t)
    ↪ block[14]<<8) | (uint32_t)block[15];
135
136     for(round = 0; round < 40; round++)
137     {
138         /*====SubCells====*/
139         S[1] ^= S[0] & S[2];
140         S[0] ^= S[1] & S[3];
141         S[2] ^= S[0] | S[1];

```

```

142  S[3] ^= S[2];
143  S[1] ^= S[3];
144  S[3] = ~S[3];
145  S[2] ^= S[0] & S[1];
146
147  T = S[0];
148  //S[0] = S[3];
149  //S[3] = T;
150
151
152  /*====PermBits====*/
153  S[0] = rowperm(S[3],0,3,2,1);
154  S[1] = rowperm(S[1],1,0,3,2);
155  S[2] = rowperm(S[2],2,1,0,3);
156  S[3] = rowperm(T,3,2,1,0);
157
158  /*====AddRoundKey====*/
159  S[2] ^= round_keys[round_key_counter++];
160  S[1] ^= round_keys[round_key_counter++];
161
162  /*Add round constant*/
163  S[3] ^= 0x80000000 ^ GIFT_RC[round];
164
165  }
166
167  C[ 0] = S[0]>>24;
168  C[ 1] = S[0]>>16;
169  C[ 2] = S[0]>>8;
170  C[ 3] = S[0];
171  C[ 4] = S[1]>>24;
172  C[ 5] = S[1]>>16;
173  C[ 6] = S[1]>>8;
174  C[ 7] = S[1];
175  C[ 8] = S[2]>>24;
176  C[ 9] = S[2]>>16;
177  C[10] = S[2]>>8;
178  C[11] = S[2];
179  C[12] = S[3]>>24;
180  C[13] = S[3]>>16;
181  C[14] = S[3]>>8;
182  C[15] = S[3];
183  return C;
184  }
185
186
187 void generate_round_keys(uint8x16_t key, uint32_t* round_keys)
188 {
189  uint16x8_t W = vreinterpretq_u16_u8(vqtbl1q_u8(key, KEY_REORDER_CONSTANT));
190  uint16_t T6,T7;
191
192  for (uint8_t i = 0; i < 80; i+=2)
193  {
194    round_keys[i + 0] = ((uint32_t)W[2]<<16) | ((uint32_t)W[3]);
195    round_keys[i + 1] = ((uint32_t)W[6]<<16) | ((uint32_t)W[7]);

```

```
196     UPDATE_KEY_STATE(W, T6, T7);  
197 }  
198 }
```

8.1.4 LightMAC

Programmcode 14 lightmac_aes_parallel.c

```

1 #include "lightmac.h"
2 #include "../aes/aes_crypto.h"
3
4 #define MAC_BLOCKSIZE (BLOCKSIZE >> 1)
5
6 #define LOAD_BLOCK(ptr) vrev64_u8(vld1_u8(ptr))
7 #define STORE_BLOCK(ptr, block) vst1q_u8(ptr, vrev64q_u8(block))
8
9 #define SET_ROUND_KEYS(key, round_keys) AES_SET_ENCRYPTION_KEYS(key,
    ↪ round_keys);
10
11 uint8_t mac(uint8_t* data, uint64_t data_len, uint8x16_t key1, uint8x16_t
    ↪ key2, uint8_t* mac)
12 {
13     uint8x16_t v1, v2, v3, v = {0,0,0,0,0,0,0,0,0,0,0,0,0,0,0,0};
14     uint64_t remaining = data_len;
15     uint8_t* in = data;
16     uint8x16_t aes_round_keys[11];
17     uint64_t counter = 1;
18     SET_ROUND_KEYS(key1, aes_round_keys);
19
20
21     // process most part of the data
22     while (remaining > 3 * MAC_BLOCKSIZE)
23     {
24         v1 = vcombine_u8(vcreate_u8(counter), LOAD_BLOCK(in));
25         v2 = vcombine_u8(vcreate_u8(counter + 1), LOAD_BLOCK(in + MAC_BLOCKSIZE));
26         v3 = vcombine_u8(vcreate_u8(counter + 2), LOAD_BLOCK(in + (2 *
    ↪ MAC_BLOCKSIZE)));
27
28         AES_ENCRYPT3(v1, v2, v3, aes_round_keys);
29
30         v = veorq_u8(v, v1);
31         v = veorq_u8(v, v2);
32         v = veorq_u8(v, v3);
33
34         counter += 3;
35         in += 3 * MAC_BLOCKSIZE;
36         remaining -= 3 * MAC_BLOCKSIZE;
37     }
38
39     while (remaining > MAC_BLOCKSIZE)
40     {
41         // reuse v1 as temporay variable
42         v1 = vcombine_u8(vcreate_u8(counter), LOAD_BLOCK(in));
43         AES_ENCRYPT(v1, aes_round_keys);
44         v = veorq_u8(v, v1);
45         counter++;
46         in += MAC_BLOCKSIZE;

```

```
47     remaining -= MAC_BLOCKSIZE;
48 }
49
50 SET_ROUND_KEYS(key2, aes_round_keys);
51
52 uint8_t buffer[BLOCKSIZE] = { 0 };
53 memcpy(buffer, data, remaining);
54 buffer[remaining] = 0x80;
55
56 v = veorq_u8(v, vrev64q_u8(vld1q_u8(buffer)));
57 AES_ENCRYPT(v, aes_round_keys);
58 STORE_BLOCK(mac, v);
59 return 0;
60 }
```

8.1.5 Sundae

Programmcode 15 sundae_aes_parallel.c

```

1  #include "sundae_aes_parallel.h"
2
3  // table lookup undefined.
4  // this value is used to lookup a value form a table and result in 0.
5  // only works for uint8x16_t => vqtbl1q_u8
6  // (Value is not important, only has to be >= 16)
7  #define TLU_U 20
8  #define ZERO_VECTOR ((uint8x16_t){0,0,0,0,0,0,0,0,0,0,0,0,0,0,0,0})
9  #define TIMES_4(value) do { \
10     value = times_2_aes(times_2_aes(value)); \
11 } while(0)
12 #define TIMES_2(value) do { \
13     value = times_2_aes(value); \
14 } while(0)
15
16 #define LOAD_BLOCK(ptr) vrev64q_u8(vld1q_u8(ptr)) // load and change
    ↪ endianness
17 #define STORE_BLOCK(ptr, block) vst1q_u8(ptr, vrev64q_u8(block))
18 #define EQUALS(a, b) (vaddlvq_u8(veorq_u8(a, b)) == 0)
19
20 #define AES_ENCRYPT_3(value, keys) AES_ENCRYPT3(value.val[0], value.val[1],
    ↪ value.val[2], keys)
21
22 uint8x16_t times_2_aes(uint8x16_t value)
23 {
24     uint8x16_t xor_value = vqtbl1q_u8(value, ((uint8x16_t){TLU_U, TLU_U, TLU_U,
    ↪ TLU_U, TLU_U, TLU_U, TLU_U, 0, TLU_U, 0, TLU_U,
    ↪ 0, TLU_U}));
25     value = vextq_u8(value, value, 1);
26     return veorq_u8(value, xor_value);
27 }
28
29 uint8x16x3_t mac_3m(uint8_t* message1, uint8_t* message2, uint8_t* message3,
    ↪ uint64_t m_len, uint8_t* ad1, uint8_t* ad2, uint8_t* ad3, uint64_t
    ↪ d_len, uint8_t* nonce1, uint8_t* nonce2, uint8_t* nonce3, uint64_t
    ↪ n_len, uint8x16_t* keys)
30 {
31     uint8x16x3_t V = (uint8x16x3_t){(uint8x16_t)
    ↪ {0,0,0,0,0,0,0,0,0,0,0,0,0,0,0,0},
32         (uint8x16_t){0,0,0,0,0,0,0,0,0,0,0,0,0,0,0,0},
33         (uint8x16_t){0,0,0,0,0,0,0,0,0,0,0,0,0,0,0,0}};
34     uint8x16x3_t ib = (uint8x16x3_t){(uint8x16_t)
    ↪ {0,0,0,0,0,0,0,0,0,0,0,0,0,0,0,0},
35         (uint8x16_t){0,0,0,0,0,0,0,0,0,0,0,0,0,0,0,0},
36         (uint8x16_t){0,0,0,0,0,0,0,0,0,0,0,0,0,0,0,0}};
37
38     uint8_t buf[16] = {0};
39     uint8_t* AS1;
40     uint8_t* AS2;
41     uint8_t* AS3;

```



```
42
43 uint8_t* in1 = message1;
44 uint8_t* in2 = message2;
45 uint8_t* in3 = message3;
46
47 if(d_len != 0)
48 {
49     ib.val[0][0] |= 0x80;
50     ib.val[1][0] |= 0x80;
51     ib.val[2][0] |= 0x80;
52 }
53 if(m_len != 0)
54 {
55     ib.val[0][0] |= 0x40;
56     ib.val[1][0] |= 0x40;
57     ib.val[2][0] |= 0x40;
58 }
59
60 if(n_len == BLOCKSIZE) {
61     ib.val[0][0] |= 0xb0;
62     ib.val[1][0] |= 0xb0;
63     ib.val[2][0] |= 0xb0;
64 }
65 else if(n_len == 12)
66 {
67     ib.val[0][0] |= 0xa0;
68     ib.val[1][0] |= 0xa0;
69     ib.val[2][0] |= 0xa0;
70 }
71 else if(n_len == 8)
72 {
73     ib.val[0][0] |= 0x90;
74     ib.val[1][0] |= 0x90;
75     ib.val[2][0] |= 0x90;
76 }
77
78 uint64_t ad_len = n_len + d_len;
79
80 uint8_t* AD1 = (uint8_t*) malloc(ad_len * sizeof(uint8_t));
81 uint8_t* AD2 = (uint8_t*) malloc(ad_len * sizeof(uint8_t));
82 uint8_t* AD3 = (uint8_t*) malloc(ad_len * sizeof(uint8_t));
83 AS1=AD1;
84 AS2=AD2;
85 AS3=AD3;
86
87 memcpy(AD1, nonce1, n_len);
88 memcpy(AD1 + n_len, ad1, d_len);
89
90 memcpy(AD2, nonce2, n_len);
91 memcpy(AD2 + n_len, ad2, d_len);
92
93 memcpy(AD3, nonce3, n_len);
94 memcpy(AD3 + n_len, ad3, d_len);
95
```

```

96  AES_ENCRYPT_3(ib, keys);
97
98  while (ad_len > BLOCKSIZE)
99  {
100    V.val[0] = veorq_u8(V.val[0], LOAD_BLOCK(AD1));
101    V.val[1] = veorq_u8(V.val[1], LOAD_BLOCK(AD2));
102    V.val[2] = veorq_u8(V.val[2], LOAD_BLOCK(AD3));
103    AES_ENCRYPT_3(V, keys);
104    AD1 += BLOCKSIZE;
105    AD2 += BLOCKSIZE;
106    AD3 += BLOCKSIZE;
107    ad_len -= BLOCKSIZE;
108  }
109
110  if (ad_len == BLOCKSIZE)
111  {
112    V.val[0] = veorq_u8(V.val[0], LOAD_BLOCK(AD1));
113    V.val[1] = veorq_u8(V.val[1], LOAD_BLOCK(AD2));
114    V.val[2] = veorq_u8(V.val[2], LOAD_BLOCK(AD3));
115
116    TIMES_4(V.val[0]);
117    TIMES_4(V.val[1]);
118    TIMES_4(V.val[2]);
119    AES_ENCRYPT_3(V, keys);
120  }
121  else if (ad_len > 0)
122  {
123
124    memcpy(buf, AD1, ad_len);
125    buf[ad_len] = 0x80;
126    V.val[0] = veorq_u8(V.val[0], LOAD_BLOCK(buf));
127    TIMES_2(V.val[0]);
128    memset(buf, 0, BLOCKSIZE);
129
130    memcpy(buf, AD2, ad_len);
131    buf[ad_len] = 0x80;
132    V.val[1] = veorq_u8(V.val[1], LOAD_BLOCK(buf));
133    TIMES_2(V.val[1]);
134    memset(buf, 0, BLOCKSIZE);
135
136    memcpy(buf, AD3, ad_len);
137    buf[ad_len] = 0x80;
138    V.val[2] = veorq_u8(V.val[2], LOAD_BLOCK(buf));
139    TIMES_2(V.val[2]);
140    memset(buf, 0, BLOCKSIZE);
141
142    AES_ENCRYPT_3(V, keys);
143  }
144
145  // tidy up
146  AD1 = AS1;
147  AD2 = AS2;
148  AD3 = AS3;
149  free(AD1);

```

```

150 free(AD2);
151 free(AD3);
152
153 // mac message
154 while (m_len > BLOCKSIZE)
155 {
156     V.val[0] = veorq_u8(V.val[0], LOAD_BLOCK(in1));
157     V.val[1] = veorq_u8(V.val[1], LOAD_BLOCK(in2));
158     V.val[2] = veorq_u8(V.val[2], LOAD_BLOCK(in3));
159
160     AES_ENCRYPT_3(V, keys);
161
162     in1 += BLOCKSIZE;
163     in2 += BLOCKSIZE;
164     in3 += BLOCKSIZE;
165     m_len -= BLOCKSIZE;
166 }
167
168 if (m_len == BLOCKSIZE)
169 {
170     V.val[0] = veorq_u8(V.val[0], LOAD_BLOCK(in1));
171     V.val[1] = veorq_u8(V.val[1], LOAD_BLOCK(in2));
172     V.val[2] = veorq_u8(V.val[2], LOAD_BLOCK(in3));
173
174     TIMES_4(V.val[0]);
175     TIMES_4(V.val[1]);
176     TIMES_4(V.val[2]);
177
178     AES_ENCRYPT_3(V, keys);
179 }
180 else if (m_len > 0)
181 {
182     memcpy(buf, in1, m_len);
183     buf[m_len] ^= 0x80;
184     V.val[0] = veorq_u8(V.val[0], LOAD_BLOCK(buf));
185     TIMES_2(V.val[0]);
186     memset(buf, 0, BLOCKSIZE);
187
188     memcpy(buf, in2, m_len);
189     buf[m_len] ^= 0x80;
190     V.val[1] = veorq_u8(V.val[1], LOAD_BLOCK(buf));
191     TIMES_2(V.val[1]);
192     memset(buf, 0, BLOCKSIZE);
193
194     memcpy(buf, in3, m_len);
195     buf[m_len] ^= 0x80;
196     V.val[2] = veorq_u8(V.val[2], LOAD_BLOCK(buf));
197     TIMES_2(V.val[2]);
198     memset(buf, 0, BLOCKSIZE);
199
200     AES_ENCRYPT_3(V, keys);
201 }
202 return V;
203 }

```

```

204
205
206 int8_t sundae_encrypt_3m(uint8_t* message1, uint8_t* message2, uint8_t*
    ↪ message3, uint64_t m_len, uint8_t* ad1, uint8_t* ad2, uint8_t* ad3,
    ↪ uint64_t d_len, uint8_t* nonce1, uint8_t* nonce2, uint8_t* nonce3,
    ↪ uint64_t n_len, uint8x16_t key, uint8_t* ciphertext1, uint8_t*
    ↪ ciphertext2, uint8_t* ciphertext3, uint64_t* c_len)
207 {
208     uint8_t* in1 = message1;
209     uint8_t* in2 = message2;
210     uint8_t* in3 = message3;
211     uint8_t* out1 = ciphertext1;
212     uint8_t* out2 = ciphertext2;
213     uint8_t* out3 = ciphertext3;
214     uint8x16_t round_keys[11];
215
216     AES_SET_ENCRYPTION_KEYS(key, round_keys);
217
218     uint8_t buf[16] = {0};
219     (*c_len) = m_len + BLOCKSIZE;
220
221     if(n_len != 16 && n_len != 12 && n_len != 8 && n_len != 0) return -1; /*
    ↪ Invalid tag length*/
222
223     uint8x16x3_t V = mac_3m(message1, message2, message3, m_len, ad1, ad2, ad3,
    ↪ d_len, nonce1, nonce2, nonce3, n_len, round_keys);
224
225     // output tag
226     STORE_BLOCK(out1, V.val[0]);
227     STORE_BLOCK(out2, V.val[1]);
228     STORE_BLOCK(out3, V.val[2]);
229
230
231     out1 += BLOCKSIZE;
232     out2 += BLOCKSIZE;
233     out3 += BLOCKSIZE;
234
235     while (m_len >= BLOCKSIZE)
236     {
237         AES_ENCRYPT_3(V, round_keys);
238
239         STORE_BLOCK(out1, veorq_u8(V.val[0], LOAD_BLOCK(in1)));
240         STORE_BLOCK(out2, veorq_u8(V.val[1], LOAD_BLOCK(in2)));
241         STORE_BLOCK(out3, veorq_u8(V.val[2], LOAD_BLOCK(in3)));
242
243         m_len -= BLOCKSIZE;
244         in1 += BLOCKSIZE;
245         in2 += BLOCKSIZE;
246         in3 += BLOCKSIZE;
247         out1 += BLOCKSIZE;
248         out2 += BLOCKSIZE;
249         out3 += BLOCKSIZE;
250     }
251

```

```

252 if (m_len > 0)
253 {
254     AES_ENCRYPT_3(V, round_keys);
255
256     memset(buf, 0, BLOCKSIZE);
257     memcpy(buf, in1, m_len);
258     STORE_BLOCK(out1, veorq_u8(V.val[0], LOAD_BLOCK(buf)));
259
260     memset(buf, 0, BLOCKSIZE);
261     memcpy(buf, in2, m_len);
262     STORE_BLOCK(out2, veorq_u8(V.val[1], LOAD_BLOCK(buf)));
263
264     memset(buf, 0, BLOCKSIZE);
265     memcpy(buf, in3, m_len);
266     STORE_BLOCK(out3, veorq_u8(V.val[2], LOAD_BLOCK(buf)));
267 }
268 return 0;
269 }
270
271 uint8_t sundae_decrypt_3m(uint8_t* ciphertext1, uint8_t* ciphertext2, uint8_t*
    ↪ ciphertext3, uint64_t c_len, uint8_t* ad1, uint8_t* ad2, uint8_t* ad3
    ↪ , uint64_t d_len, uint8_t* message1, uint8_t* message2, uint8_t*
    ↪ message3, uint64_t m_len, uint8_t* nonce1, uint8_t* nonce2, uint8_t*
    ↪ nonce3, uint64_t n_len, uint8x16_t key)
272 {
273     uint8x16x3_t Tprime, V, T;
274
275     (*m_len) = c_len - BLOCKSIZE;
276
277     if (c_len < BLOCKSIZE) return -2; // invalid blocksize
278     if (n_len != 16 && n_len != 12 && n_len != 8 && n_len != 0) return -1; /*
    ↪ Invalid tag length*/
279
280     uint8_t* in1 = ciphertext1;
281     uint8_t* in2 = ciphertext2;
282     uint8_t* in3 = ciphertext3;
283     uint8_t* out1 = message1;
284     uint8_t* out2 = message2;
285     uint8_t* out3 = message3;
286     uint8x16_t round_keys[11];
287
288     AES_SET_ENCRYPTION_KEYS(key, round_keys);
289
290     V.val[0] = LOAD_BLOCK(in1);
291     T.val[0] = LOAD_BLOCK(in1); // needet for tag verification
292
293     V.val[1] = LOAD_BLOCK(in2);
294     T.val[1] = LOAD_BLOCK(in2); // needet for tag verification
295
296     V.val[2] = LOAD_BLOCK(in3);
297     T.val[2] = LOAD_BLOCK(in3); // needet for tag verification
298
299     in1 += BLOCKSIZE;
300     in2 += BLOCKSIZE;

```

```

301 in3 += BLOCKSIZE;
302 c_len -= BLOCKSIZE;
303
304 while (c_len >= BLOCKSIZE)
305 {
306     AES_ENCRYPT_3(V, round_keys);
307
308     STORE_BLOCK(out1, veorq_u8(V.val[0], LOAD_BLOCK(in1)));
309     STORE_BLOCK(out2, veorq_u8(V.val[1], LOAD_BLOCK(in2)));
310     STORE_BLOCK(out3, veorq_u8(V.val[2], LOAD_BLOCK(in3)));
311
312     c_len -= BLOCKSIZE;
313     in1 += BLOCKSIZE;
314     in2 += BLOCKSIZE;
315     in3 += BLOCKSIZE;
316     out1 += BLOCKSIZE;
317     out2 += BLOCKSIZE;
318     out3 += BLOCKSIZE;
319 }
320
321 if (c_len > 0)
322 {
323     AES_ENCRYPT_3(V, round_keys);
324     uint8_t buf[16] = {0};
325
326     memcpy(buf, in1, c_len);
327     STORE_BLOCK(buf, veorq_u8(LOAD_BLOCK(buf), V.val[0]));
328     memcpy(out1, buf, c_len);
329     memset(buf, 0, BLOCKSIZE);
330
331     memcpy(buf, in2, c_len);
332     STORE_BLOCK(buf, veorq_u8(LOAD_BLOCK(buf), V.val[1]));
333     memcpy(out2, buf, c_len);
334     memset(buf, 0, BLOCKSIZE);
335
336     memcpy(buf, in3, c_len);
337     STORE_BLOCK(buf, veorq_u8(LOAD_BLOCK(buf), V.val[2]));
338     memcpy(out3, buf, c_len);
339     memset(buf, 0, BLOCKSIZE);
340 }
341
342 Tprime = mac_3m(message1, message2, message3, *m_len, ad1, ad2, ad3, d_len,
    ↪ nonce1, nonce2, nonce3, n_len, round_keys);
343
344 int8_t RetVal = 0;
345 // compare tags
346 // return an integer which indicates which message has errors
347 if (!EQUALS(T.val[0], Tprime.val[0]))
348     RetVal |= 1;
349 if (!EQUALS(T.val[1], Tprime.val[1]))
350     RetVal |= 2;
351 if (!EQUALS(T.val[2], Tprime.val[2]))
352     RetVal |= 4;
353 return RetVal;

```


Abbildungsverzeichnis

1	SIMD Additionsbeispiel [2]	3
2	NEON-Register (Eigene Quelle)	4
3	<code>vextq_u8</code> als Byteshift (Eigene Quelle)	12
4	<code>vextq_u8</code> als Byterotation (Eigene Quelle)	12
5	Zwei Runden des <i>GIFT</i> -Verschlüsselungsalgorithmus [12]	13
6	Transponierung für Bitslicing (Eigene Quelle)	14
7	Schematische Darstellung des <i>COLM</i> Algorithmus [19]	19

Tabellenverzeichnis

1	NEON AES Instrunktionen (Eignene Quelle)	8
2	Durchsatz und Latenz der ARM <i>AES</i> -Intrinsics [8]	10
3	Gemessene Performance-Werte für <i>Sundae-AES</i> in Zyklen pro Byte [14] .	24
4	Zyklen pro Byte für <i>AES-ECB</i> 128 Bit.	26
5	Zyklen pro Byte für <i>GIFT</i>	27
6	Zyklen pro Byte für <i>GIFT</i> . (Board: Odroid, <code>-mtune=cortex-a73</code>)	28
7	Zyklen pro Byte für <i>GIFT</i> . (Board: Odroid, <code>-mtune=cortex-a73.cortex-a53</code>)	29
8	Zyklen pro Byte für <i>GIFT</i> . (Board: Raspberry Pi 4, <code>-mtune=cortex-a72</code>)	29
9	Zyklen pro Byte für <i>GIFT</i> . (Board: Raspberry Pi 4, <code>-mtune=cortex-a73.cortex-a53</code>)	30
10	Zyklen pro Byte für <i>LightMAC</i>	31
11	Zyklen pro Byte für <i>COLM0</i>	32
12	Zyklen pro Byte für <i>COLM127</i>	34
13	Zyklen pro Byte für <i>Sundae-GIFT</i>	36
14	Zyklen pro Byte für <i>Sundae-AES</i>	38

Literatur

- [1] Arm Limited. „ARM Cortex-A Series Programmer’s Guide for ARMv8-A,“ Adresse: <https://developer.arm.com/documentation/den0024/a> (besucht am 25.10.2020).
- [2] —, „Introducing Neon for Armv8-A - single page.“ Zugriffen am 12 November 2020, Adresse: <https://developer.arm.com/architectures/instruction-sets/simd-isas/neon/neon-programmers-guide-for-armv8-a/introducing-neon-for-armv8-a/single-page> (besucht am 12.11.2020).
- [3] —, „Cortex-A72 Software Optimization Guide.“ Zugriffen am 27 November 2020, Adresse: <https://developer.arm.com/documentation/den0024/a/AArch64-Floating-point-and-NEON/NEON-coding-alternatives> (besucht am 27.11.2020).
- [4] N.-F. Standard, „Announcing the advanced encryption standard (aes),“ *Federal Information Processing Standards Publication*, Jg. 197, Nr. 1-51, S. 3–3, 2001.
- [5] J. Daor, J. Daemen und V. Rijmen, „AES proposal: rijndael,“ Okt. 1999.
- [6] „CNSS Policy No. 15, Fact Sheet No. 1 National Policy on the Use of the Advanced Encryption Standard (AES) to Protect National Security Systems and National Security Information,“ Juni 2003.
- [7] Arm Limited, „ARM® Cortex®-A53 MPCore Processor Cryptography Extension,“ Techn. Ber., 2013, Zugriffen am 15 November 2020.
- [8] —, „Cortex-A72 Software Optimization Guide.“ Zugriffen am 01 Dezember 2020, Adresse: <https://developer.arm.com/documentation/uan0016/a/> (besucht am 01.12.2020).
- [9] Intel Corporation. „Intel Intrinsics Guide.“ Zugriffen am 13 November 2020, Adresse: https://software.intel.com/sites/landingpage/IntrinsicsGuide/#text=_mm_aeskeygenassist_si128&expand=238 (besucht am 13.11.2020).
- [10] I. Corporation, *Intel(R) Advanced Encryption Standard (AES) New Instructions Set White Paper*.
- [11] M. Brase. „Emulating x86 AES Intrinsics on ARMv8-A,“ Adresse: <https://blog.michaelbrase.com/2018/05/08/emulating-x86-aes-intrinsics-on-armv8-a/> (besucht am 23.10.2020).
- [12] S. Banik, S. K. Pandey, T. Peyrin, Y. Sasaki, S. M. Sim und Y. Todo, „GIFT: A Small Present,“ in *Cryptographic Hardware and Embedded Systems – CHES 2017*, W. Fischer und N. Homma, Hrsg., Cham: Springer International Publishing, 2017, S. 321–345.
- [13] A. Bogdanov, L. R. Knudsen, G. Leander, C. Paar, A. Poschmann, M. J. B. Robshaw, Y. Seurin und C. Viskellsoe, „PRESENT: An Ultra-Lightweight Block Cipher,“ in *Cryptographic Hardware and Embedded Systems - CHES 2007*, Springer Berlin Heidelberg, S. 450–466.

- [14] S. Banik, A. Bogdanov, A. Luykx und E. Tischhauser, „SUNDAE: Small Universal Deterministic Authenticated Encryption for the Internet of Things,“ *IACR Transactions on Symmetric Cryptology*, Jg. 2018, Nr. 3, S. 1–35, Sep. 2018.
- [15] A. Luykx, B. Preneel, E. Tischhauser und K. Yasuda, „A MAC Mode for Lightweight Block Ciphers,“ in *Fast Software Encryption*, Springer Berlin Heidelberg, 2016, S. 43–59.
- [16] P. Kocher, J. Horn, A. Fogh, D. Genkin, D. Gruss, W. Haas, M. Hamburg, M. Lipp, S. Mangard, T. Prescher, M. Schwarz und Y. Yarom, „Spectre Attacks: Exploiting Speculative Execution,“ in *40th IEEE Symposium on Security and Privacy (S&P’19)*, 2019.
- [17] M. Lipp, M. Schwarz, D. Gruss, T. Prescher, W. Haas, A. Fogh, J. Horn, S. Mangard, P. Kocher, D. Genkin, Y. Yarom und M. Hamburg, „Meltdown: Reading Kernel Memory from User Space,“ in *27th USENIX Security Symposium (USENIX Security 18)*, 2018.
- [18] P. FIPS, „198-1,“ *The keyed-hash message authentication code (HMAC)*, 2008.
- [19] E. Andreeva, A. Bogdanov, N. Datta, A. Luykx, B. Mennink, M. Nandi, E. Tischhauser und K. Yasuda, „COLM v1,“ *Submission to the CAESAR Competition*, 2016.
- [20] D. J. Bernstein. „CAESAR submissions.“ Zugegriffen am 30 November 2020, Adresse: <https://competitions.cr.yp.to/caesar-submissions.html> (besucht am 27.11.2020).
- [21] S. Banik, A. Bogdanov, T. Peyrin, Y. Sasaki, S. M. Sim, E. Tischhauser und Y. Todo, „SUNDAE-GIFT v1.0,“ *Submission to NIST Lightweight Cryptography competition*, 2019.